



Desenvolvimento de Algoritmos de Controlo para Locomoção de um Robot Humanóide

Relatório Final de Projecto

Pedro Ferreira N°27593

Orientação:

Prof. Dr. Filipe Silva (DETI-IEETA)

Prof. Dr. Vítor Santos (DEM-TEMA)

Universidade de Aveiro
Departamento de Electrónica, Telecomunicações e Informática, IEETA
Licenciatura em Engenharia Electrónica e Telecomunicações

Julho de 2007

Índice

1	Introdução	5
1.1	Projecto Humanóide da Universidade de Aveiro (PhUA).....	5
1.2	Objectivos.....	8
1.3	Estrutura do relatório	8
2	Enquadramento geral	9
2.1	Protocolo de comunicações	9
2.1.1	Comunicações CAN	11
2.1.2	Comunicação RS-232 ¹	11
2.2	Controlo Local.....	19
2.2.1	Controlador PID	20
2.2.2	Avaliação de Resultados.....	26
3	Algoritmos de controlo baseados em realimentação sensorial	28
3.1	Controlador baseado nas forças de reacção.....	28
3.1.1	Sensores de força: Extensómetros	28
3.1.2	Controlador usando a matriz Jacobiana.....	30
3.1.3	Testes e Resultados.....	33
3.2	Controlador da postura da anca	37
3.2.1	Sensores de inclinação: Inclinómetros	37
3.2.2	Controlador proporcional	39
3.2.3	Testes e Resultados.....	41
3.2.4	Avaliação de Resultados.....	47
4	Planeamento do movimento: padrões de locomoção.....	49
4.1	Planeamento de trajectórias	51
4.1.1	Cinemática directa	52
4.1.2	Cinemática Inversa	53
4.2	Locomoção bípede.....	55
4.2.1	Fase 1: preparar o movimento	56
4.2.2	Fase 2: inicio do passo.....	56
4.2.3	Vários Passos	57
4.3	Rotação sobre si próprio	58
4.4	Pontapé	62
5	Simulador TwoLegs_22dof	64

5.1	GUI em Matlab.....	64
5.1.1	Ambiente de desenvolvimento	65
5.1.2	Estrutura do Script.....	66
5.2	Definições estruturais	69
5.2.1	Dimensões dos elos	69
5.2.2	Massa dos componentes do robô Humanóide	69
5.2.3	Centros de Massa.....	70
5.2.4	Relação de transmissão.....	71
5.3	TwoLegs_22dof.....	73
5.3.1	Componentes	73
5.3.2	Estruturas de suporte ao GUI.....	79
5.3.3	Organização da aplicação	84
5.3.4	Ficheiros envolvidos.....	86
5.4	GestMovs.....	96
5.5	Bugs detectados	97
6	Conclusão	98
7	Bibliografia.....	99
8	Índice de Imagens	100
9	Índice de Tabelas	102

1 Introdução

O ser humano, dada a sua capacidade intelectual e sentido inventivo, desde cedo sentiu necessidade de automatizar tarefas do dia-a-dia. Episódios de máquinas mecânicas que realizavam tarefas repetitivas ou que simplesmente entretinham os mais curiosos pela inovação são comuns em toda a história da humanidade. A evolução dotou-nos de um conjunto de ferramentas cada vez mais precisas e robustas permitindo-nos cada vez mais explorar a nossa imaginação na criação artificial.

Não há dúvida de que a ergonomia do ser humano é bastante versátil, permitindo-nos usar os nossos membros para um vasto leque de tarefas, desde movimentos de precisão a tarefas mais rudes e pesadas. É esta característica que nos dá a motivação para criar seres semelhantes a nós, com a mesma capacidade de adaptação a novos ambientes e capazes de colonizar mundos.

A concepção de robôs humanóides não se fica só por sonhos de ficção científica. Ao desenvolver-se capacidades humanas em dispositivos mecânicos está-se a criar alternativas reais de substituição de membros ou órgãos humanos danificados por dispositivos mecânicos capazes de reproduzir as capacidades reais e suprir os problemas existentes.

Estas são razões mais que suficientes para a dedicação e interesse da Universidade de Aveiro num projecto desta envergadura, numa área que actualmente é meramente académica, com o intuito de deixar marcas e feitos na evolução de algo grandioso que um dia poderá ser tão comum como um simples aparelho de televisão em nossas casas.

1.1 Projecto Humanóide da Universidade de Aveiro (PhUA)

O projecto de um robô humanóide na Universidade de Aveiro está a ser desenvolvido desde 2002/2003. É um projecto de cooperação entre o Departamento de Engenharia Mecânica e o Departamento de Electrónica, Telecomunicações e Informática.

Do ponto de vista mecânico, destaca-se na plataforma humanóide um conjunto de 22 graus de liberdade, distribuídos da seguinte forma:

- ✚ · 2 em cada pé (2x2);
- ✚ · 1 em cada joelho (1x2);
- ✚ · 3 em cada anca (3x2);
- ✚ · 2 no tronco (2x1);
- ✚ · 3 em cada braço (3x2);
- ✚ · 2 no suporte da câmara (cabeça) (2x1).

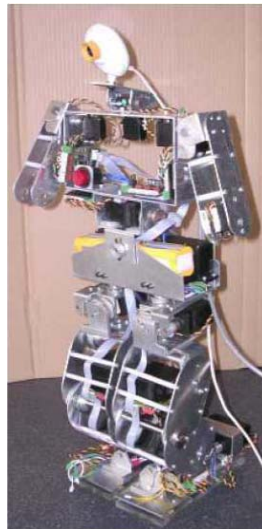


Figura 1-1 – Robô Humanóide da Universidade de Aveiro

A estrutura é constituída essencialmente por alumínio e aço nos eixos e outros pequenos componentes, pesando um total de 6kg com as baterias incluídas, e medindo cerca de 60cm. Estes valores foram estabelecidos de acordo com as regras impostas pelo RoboCup, baseando-se no pressuposto de que para valores superiores a estes, o uso de servomotores de baixo custo poderá tornar-se inviável dada a impossibilidade de conciliar binários de motores e pesos dos equipamentos e acessórios como as baterias.

Para ajudar no controlo, o robô humanóide é dotado de um conjunto de sensores distribuídos ao longo da estrutura, são eles:

- ✚ Sensores de posição - Os sensores de posição são potenciômetros que indicam a posição angular actual do servomotor. Há um sensor de posição por cada servomotor.
- ✚ Sensores de força - Os sensores de força estão localizados em pequenas placas distribuídas pelos quatro cantos de cada pé. Estes sensores servem para medir em cada instante o ponto do centro de pressão (CoP) nesse pé.

- ✚ Sensores de inclinação - Os inclinómetros ou sensores de inclinação situam-se na zona da anca e servem para indicar a inclinação da anca em relação ao plano da terra
- ✚ Giroscópios - Os giroscópios ainda não têm uma aplicação específica. Estes sensores medem a velocidade angular
- ✚ Câmara CCD - A câmara CCD é os olhos do humanóide

Optou-se por um tipo de arquitectura de controlo distribuída para o desenvolvimento de todo o sistema. O modo de funcionamento desta arquitectura baseia-se num controlo por módulos que implica a localização de pequenas unidades estrategicamente posicionadas e que façam a gestão de tarefas locais. Dessa forma, o sistema é constituído por três tipos de unidades:

- ✚ Unidade Central
- ✚ Master Control Unit (MCU)
- ✚ *Slave* Control Unit (SCU)

A Unidade Central é uma unidade singular responsável pela gestão global de toda a estrutura. Esta unidade é responsável por enviar comandos de controlo com impacto em todo o sistema. É também responsável pelo processamento e gestão da visão.

O Master Control Unit serve de interface entre a unidade central e as SCU, é um único dispositivo que serve de distribuidor dos comandos enviados pela Unidade Central.

As *Slave* Control Unit tem a função de controlo local, há ao todo 8 espalhadas pelo Humanóide cada uma com capacidade para actuação directa de 3 servomotores e também pela leitura dos sensores existentes na sua área de actuação.

Para a comunicação entre os diferentes tipos de unidades, estão definidos dois barramentos, um série RS-232 que permite uma comunicação bidireccional ponto a ponto entre a Unidade Central e o MCU e um barramento CAN (Controller Area Network), que permite a comunicação multi-ponto entre o MCU e as SCU.

1.2 Objectivos

Este trabalho tem como objectivo o estudo de soluções a aplicar a robôs humanóides. Nesse contexto e, como este é um trabalho de continuidade, os objectivos definidos destinam-se a atingir patamares de desenvolvimento. O processo de desenvolvimento a aplicar é começar a partir do trabalho realizado em anos anteriores, acrescentar mais valias, apontar e corrigir defeitos e integrar novos componentes.

Os objectivos propostos inicialmente foram os seguintes:

- ✚ Continuar o estudo do controlador local PID.
- ✚ Continuar o estudo dos sensores de força e encontrar situações de uso real durante as movimentações do robô humanóide;
- ✚ Iniciar o estudo dos sensores de inclinação, implementar algoritmos de controlo baseados na informação por eles fornecida;
- ✚ Estudar e implementar padrões de locomoção aplicáveis na prática a este robô humanóide;
- ✚ Criar uma interface visual que permita uma interacção *user-friendly* com o robô.

1.3 Estrutura do relatório

Para a abordagem aos objectivos proposto, o trabalho encontra-se encadeado hierarquicamente, começando pela base que corresponde ao enquadramento geral e ao estado de desenvolvimento inicial do projecto, seguindo depois pela inovação criada durante este ano de trabalho no projecto e acabando com a integração geral de todo o trabalho ao expor a plataforma de simulação criada.

Espera-se com esta abordagem criar um nível de conhecimento, referente ao projecto, suficiente para ter uma panorâmica geral de todo o trabalho sem no entanto entrar em grandes pormenores técnicos susceptíveis de aborrecer o mais entusiasta dos leitores.

2 Enquadramento geral

Nesta secção é discutido o estado inicial de desenvolvimento do sistema. São abordados temas como o protocolo de comunicações existente e os controladores de posição usados.

O protocolo de comunicações é a base sobre a qual todo o sistema assenta, nas secções seguintes descrever-se-á de uma forma geral como todo o sistema está interligado e quais são os comandos de comunicação existentes. Este protocolo sofreu durante este ano uma evolução de forma a integrar novas necessidades ao nível da comunicação.

Há dois tipos de controlo de posição, um designado de malha aberta e o controlador de posição PID. O controlador de malha aberta, correspondente ao controlo electrónico integrado nos próprios servomotores não vai ser abordado no âmbito desta análise porque já está suficientemente explorado em relatórios anteriores.

2.1 Protocolo de comunicações

Como já foi referido, há três tipos de unidade e uma delas serve de intermediário entre as outras duas. Esta unidade intermediária é o Master Control Unit (MCU), também designado por unidade distribuidora. Este nome é-lhe atribuído por nela serem armazenados os dados de actuação, quer os invariáveis quer os enviados pela unidade principal (posição, velocidade, ...), esses dados são então reencaminhados para as *Slave Control Unit* (SCU) de forma a estas cumprirem com as ordens pedidas.

Há portanto dois protocolos de comunicação em todo o sistema, um que corre sobre o barramento RS-232 entre a unidade principal e o MCU e um segundo protocolo estabelecido sobre um barramento CAN comum a todas as unidades SCU e ligado ao MCU.

As necessidades de comunicação existentes prendem-se com pretensões de actuação ou de leitura de algumas variáveis associadas directamente a cada *slave*. As funcionalidades que o protocolo de comunicações fornece são:

- ✚ Leitura de sensores
 - Sensores de posição dos servos;
 - Sensores de força dos pés;
 - Inclinómetros ou giroscópios;
- ✚ Leitura de parâmetros dos servos:
 - Posição;
 - Velocidade;
 - Corrente;
- ✚ Parâmetros de actuação
 - Posição das juntas;
 - Centro de Pressão de referencia (CoP_{ref});
 - Tempo da trajectória;
 - Activação de PWM;
- ✚ Tipo de controlador de primeiro nível;
- ✚ Parâmetros de controlo;
 - K_i ;
 - K_p ;
 - K – ganho do controlador de primeiro nível.

Alguns destes parâmetros circulam sobre os mesmos campos e estão dependentes de outros para serem identificados como tal. Quer isto dizer, por exemplo, que o CoP_{ref} , vai no mesmo campo que a posição das juntas mas para ser lido como CoP_{ref} têm que estar activo o controlador correspondente aos sensores de força. Uma descrição dos comandos de acesso e actuação sobre estes parâmetros é dada na **Secção 2.1.2.**

2.1.1 Comunicações CAN¹

O CAN, por ser um sistema de comunicação série multi-ponto é ideal para interligar todas as unidades de baixo nível (*slaves e master*). Este tipo de comunicação possibilita assim, o tipo de arquitectura de controlo aplicada à plataforma humanóide.

Em relação às comunicações CAN importa referir são enviadas ciclicamente mensagens CAN com os parâmetros de actuação para cada uma das *slaves*. Este ciclo é executado de 8 em 8ms (são permitidos ligeiros desvios no caso de erros na comunicação). Isto permite que seja dedicado 1ms a cada *slave*, durante o qual, são enviadas duas mensagens do *master* para a uma *slave* com a informação de actuação e, por cada mensagem recebida, a *slave* devolve uma resposta com os seus dados sensoriais. São assim trocadas 4 mensagens entre o MCU e uma SCU.

Os parâmetros de actuação enviados do *master* para as *slaves*, são os que ele possui actualizados na sua base de dados interna. Quer isto dizer que quer haja pedido de actuação especificados pela unidade principal ou não, a influência que têm sobre a comunicação CAN é inexistente, pois esta limita-se a enviar periodicamente os últimos dados de actuação guardados.

2.1.2 Comunicação RS-232¹

O protocolo de comunicações estabelecido entre o MCU e a unidade principal precisa de uma análise mais profunda, já que é sobre esta comunicação que praticamente todo o trabalho desenvolvido corre.

A comunicação RS-232 entre o PC e o MCU é efectuada assincronamente e é orientada ao byte (*start bit+8 bits+stop bit*), ou seja, é transmitido um byte de dados em cada transmissão/recepção. Pretende-se que numa única mensagem esteja contida toda a informação relativa a um parâmetro a ler/actuar das três juntas de um SCU, o que implica que cada mensagem seja constituída por vários bytes.

¹ Ver RUAS, Milton; *Desenvolvimento de Algoritmos de Controlo para Locomoção de um Robot Humanóide – Relatório Final de Projecto*; Julho de 2006.

2.1.2.1 Device drivers

Sem entrar em muitos pormenores técnicos sobre como está desenvolvido a comunicação RS-232, interessa salientar os *device drivers* que são disponibilizados para ler/actuar sobre as SCU. As funções existentes abrangem desde o estabelecimento da comunicação, passando pelo teste às ligações até ao envio de parâmetros de actuação ou leitura. Estes comandos estão desenvolvidos em Matlab. Temos assim as seguintes funções:

- ✚ As funções *initcom* e *killcom* servem exclusivamente para abrir e fechar, respectivamente, a porta série que é utilizada pela unidade principal.

Initcom

Estabelecimento de uma nova ligação via RS-232

```
[handler,state]=initcom(gate,rate)
```

Entradas:

```
gate -> Porta a utilizar (1,2,...)  
rate -> baudrate a definir (bits/s)1
```

Saídas:

```
handler -> ID da linha de comunicações  
state -> Configurações da linha
```

¹ O baudrate usado para a comunicação com o master é de 115200bps.

Killcom

Término de uma ligação RS-232 existente.

```
stat=killcom(handler)
```

Entradas:

```
handler -> ID da linha série
```

Saídas:

```
stat -> retorna 1 em caso de sucesso
```

- ✚ A função *testcom* faz um pedido ao master de envio de uma sequência predefinida, aguarda a sua recepção e verifica se houve erros na transmissão. No caso de não haver erros o retorno desta função é zero.

Testcom

Pedido de envio de uma sequência de teste.

```
[error,errorstr]=testcom(H)
```

Entradas:

handler -> ID da linha série

Saídas:

error -> Código de erro

errorstr -> String descritiva do erro

✚ A função `readcanstat` permite a verificação das comunicações CAN

Readcanstat

Leitura do estado do barramento CAN.

```
[array,state,rx,error,errorstr]=readcanstat(H)
```

Entradas:

handler -> ID da linha série

Saídas:

array -> [estado de erro, #erros de transmissão, #erros de recepção]

state -> Bits de estado dos servos

rx -> Mensagem de baixo nível recebida

error -> Código de erro, se existente

errorstr -> String descritiva do erro

✚ Para a leitura da informação actualmente existente na SCU, há duas funções, *readjoint* e *readspecial*. A primeira permite a leitura de parâmetros associados ao servomotor, como a posição ou a corrente consumida actual, **Tabela 2-1**. A segunda função permite a leitura dos sensores especiais que estão acoplados ao circuito de *piggy-back*, como por exemplo os sensores de força ou de inclinação.

Readjoint

Leitura de um parâmetro sensorial dos servos de um SCU

```
[servos,state,rx,error,errorstr]=readjoint(H,scu_id,param)
```

Entradas:

H => Handler para comunicar com o Master

scu_id => Identificador do SCU alvo

param => Parâmetro a ler (**Tabela 2-1**)

Saídas:

servos => Parâmetro de saída [servo1,servo2,servo3]

state => Bits de estado dos servos (**Tabela 2-2**)

rx => Mensagem de baixo nível recebida

error => Código de erro, se existente

errorstr => String descritiva do erro

<i>Campo param</i>		<i>Descrição</i>	<i>Campo servos</i>	<i>Unidades</i>
<i>PARAM_POSITION</i>	0	Posição angular de cada junta.	[<i>pos</i> ₁ , <i>pos</i> ₂ , <i>pos</i> ₃]	Graus
<i>PARAM_VELOCITY</i>	1	Velocidade estimada de cada junta.	[<i>vel</i> ₁ , <i>vel</i> ₂ , <i>vel</i> ₃]	Graus/100ms
<i>PARAM_CURRENT</i>	2	Corrente drenada por cada servo.	[<i>curr</i> ₁ , <i>curr</i> ₂ , <i>curr</i> ₃]	% do T de PWM

Tabela 2-1 - Valores possíveis do parâmetro param da função *readjoint*

<i>Elemento</i>	<i>Campo</i>	<i>Descrição</i>
1	PWM	Activo se todos os motores possuem o PWM ligado.
2	Calib	Calibração dinâmica da posição dos servos activada.
3	Deadline	Ocorrência de um erro de violação da largura de banda disponível.
4	FinAll	Todos as juntas terminaram a trajectória.
5	FinOne	Pelo menos uma das juntas terminou a trajectória.
6	FinServo3	A junta 3 terminou a trajectória.
7	FinServo2	A junta 2 terminou a trajectória.
8	FinServo1	A junta 1 terminou a trajectória.

Tabela 2-2 - Valores presentes no vector status retornado pela função *readjoint*

Readspecial

Leitura dos sensores especiais (sensores de força, giroscópio ou inclinómetro).

```
[special,rx,error,errorstr]=readspecial(H,scu_id)
```

Entradas:

H => Handler das comunicações com o Master
scu_id => Identificador do SCU alvo

Saídas:

special => Valores dos sensores especiais
rx => Mensagem de baixo nível recebida
error => Código de erro, se existente
errorstr => String descritiva do erro

A escolha do sensor que se pretende ler está depende do *scu_id* a que se está a aceder, pois uma *slave* só tem um tipo de sensor especial acoplado ao seu circuito de piggy-back.

- ✚ Como funções de actuação são disponibilizados dois tipos de comandos, o *applyjoint* que permite o envio de posições, velocidade ou simplesmente de activação do PWM nos servomotores e, o *applycontrol* que permite designar o tipo de controlador activo e os parâmetros que definem esse controlador.

Applyjoint

Aplicação de uma ordem de actuação a cada componente de um SCU.

```
[rx,error,errorstr]=applyjoint(H,scu_id,param,servos)
```

Entradas:

```
H => Handler para comunicar com o Master
scu_id => Identificador do SCU alvo
param => Parametro a aplicar (Tabela 2-3)
servos => Dados a aplicar [servo1,servo2,servo3]
```

Saídas:

```
rx => Mensagem de baixo nível recebida
error => Código de erro, se existente
errorstr => String descritiva do erro
```

Campo param		Descrição	Campo servos	Unidades
PARAM_POSITION	0	Posição referênciada a ser atingida.	[ref ₁ , ref ₂ , ref ₃]	Graus ou outro
PARAM_VELOCITY	1	Duração do movimento a efectuar.	[vel ₁ , vel ₂ , vel ₃]	Ciclos de 20ms
PARAM_SPECIAL	3	Activação/desactivação do PWM aplicado aos motores.	[0/1, 0, 0]	(Valor booleano)

Tabela 2-3 - Valores possíveis do parâmetro param na função *applyjoint*

Applycontrol

Seleção do controlador de primeiro nível e ajuste dos seus parâmetros bem como dos parâmetros do controlador local

```
[rx,error,errorstr]=applycontrol(H,scu_id,param,servos)
```

Entradas:

```
H => Handler para comunicar com o Master
scu_id => Identificador do SCU alvo
param => Parametro a modificar (Tabela 2-4)
servos => Dados a aplicar [servo1,servo2,servo3]
```

Saídas:

```
rx => Mensagem de baixo nível recebida
error => Código de erro, se existente
errorstr => String descritiva do erro
```

Campo <i>param</i>		<i>Descrição</i>	Campo <i>servos</i>
<i>PARAM_KI</i>	0	Ganho da componente integral (<i>Ki</i>) do controlador local.	[<i>Ki</i> ₁ , <i>Ki</i> ₂ , <i>Ki</i> ₃]
<i>PARAM_KP</i>	1	Ganho da componente proporcional (<i>Kp</i>) do controlo local.	[<i>Kp</i> ₁ , <i>Kp</i> ₂ , <i>Kp</i> ₃]
<i>PARAM_K</i>	2	Ganho (<i>K</i>) do controlador de primeiro nível.	[<i>K</i> ₁ , <i>K</i> ₂ , <i>K</i> ₃]
<i>PARAM_CONTROLON</i>	3	Tipo de controlo de primeiro nível (<i>Type</i>) a aplicar em cada junta (Tabela 2-5).	[<i>Type</i> ₁ , <i>Type</i> ₂ , <i>Type</i> ₃]

Tabela 2-4 - Valores possíveis do parâmetro *param* na função *applycontrol*

Os tipos de controlador de primeiro nível que podem ser especificados na função *applycontrol* estão descritos na **Tabela 2-5**.

Tipo de Controlo (<i>Type</i>)		<i>Descrição</i>
<i>NO_CONTROL</i>	0	Sem Controlo de primeiro nível
<i>COP_CONTROL</i>	1	Controlo de Centro de Pressão
<i>INC_CONTROL</i>	2	Controlo de Inclinação
<i>GIRO_CONTROL</i>	3	Controlo de velocidade angular

Tabela 2-5 - Tipo de controladores de primeiro nível

2.1.2.2 Funções auxiliares¹

Os comandos existentes para comunicação RS-232 são excelentes quando se pretende actuar uma unidade *slave* mas na actuação a várias *slaves* é necessário haver um conjunto de funções de nível superior que actuem de forma mais eficiente. Pretende-se com isso que seja permissível definir vários parâmetros em diferentes *slaves* só com uma função, dessa forma foram criadas um conjunto de funções auxiliares à actuação nas *slaves*.

Estas funções foram criadas conforme as necessidades sentidas ao longo do tempo, o que justifica o facto de não serem o mais eficientes possível nas suas

¹ Desenvolvido de raiz no âmbito deste projecto

utilidades, isto é, há algumas funções que podem fazer trabalhos semelhantes, ou serem demasiado específicas.

✚ Para activar e desactivar o PWM de várias SCU:

activaPWM

Activa o PWM dos servos das slaves mencionadas

```
erro=activaPWM(handler, varargin)
```

Entradas:

```
handler => Handler para comunicar com o Master
varargin:
    [] => Activa o PWM das 8 SCUs
    SCU1, SCU2,... => Activa o PWM das SCU indicadas
```

Saídas:

```
erro => Indica se houve erros ou não
```

desactivaPWM

Desactiva o PWM dos servos das slaves mencionadas

```
erro=desactivaPWM(handler, varargin)
```

Entradas:

```
handler => Handler para comunicar com o Master
varargin:
    [] => Desactiva o PWM das 8 SCUs
    SCU1, SCU2,... => Desactiva o PWM das SCU indicadas
```

Saídas:

```
erro => Indica se houve erros ou não
```

✚ Para definir a mesma velocidade para os servos de diferentes SCU

defineVel

Permite definir a velocidade para vários servos

```
erro = defineVel(handler, vel, varargin)
```

Entradas:

```
handler => Handler para comunicar com o Master
Vel => Velocidade que se pretende aplicar
varargin:
    [] => Aplica a mesma velocidade aos servos das 8 SCUs
    SCU1, SCU2,... =>Aplica a mesma velocidade aos servos das SCU indicadas
```

Saídas:

```
erro => Indica se houve erros ou não
```

- ✚ Para aplicar valores de um tipo específico a todos os servos de todas as *slaves*

aplicaConf

Permite aplicar vários tipos de configurações a todos os servos

```
erro = aplicaConf(handler, tipo, valMat)
```

Entradas:

```
handler => Handler para comunicar com o Master
tipo => parâmetro a aplicar (ver Tabela 2-6)
valMat => Matriz com os valores para todos os servos
```

Saídas:

```
erro => Indica se houve erros ou não
```

Parâmetro	Descrição
0	Posição
1	Velocidade
2	Parâmetro ki do controlador local
3	Parâmetro kp do controlador local
4	Ganho do controlador de primeiro nível
5	Tipo de controlador de primeiro nível

Tabela 2-6 - Tipo de parâmetro para *aplicaConf*

- ✚ Para ler um parâmetro em todas as *slaves*

lerParam

Permite ler o mesmo parâmetro de todos os servos

```
valMat = lerParam(handler, tipo)
```

Entradas:

```
handler => Handler para comunicar com o Master
tipo => parâmetro a ler (ver Tabela 2-7)
```

Saídas:

```
valMat => Matriz com os valores para todos os servos
```

Parâmetro	Descrição
0	Posição
1	Velocidade
2	Corrente consumida pelo servo
3	Sensores especiais

Tabela 2-7 - Tipo de parâmetro a ler em *lerParam*

2.2 Controlo Local¹

Para a actuação das juntas é essencial tanto o controlo de posição como de velocidade, e dado que em média cada junta não possui uma excursão de movimento superior a 180°, uma solução baseada em servomotores foi a mais imediata. Podem-se enunciar as seguintes vantagens e desvantagens para esta escolha:

- ✎ Excursão de posição de 180°;
- 👍 Controlador de posição incluído;
- 👍 Relativamente pequeno e compacto;
- 👍 Relativamente barato;
- ✎ Não oferece controlo de velocidade.

Os servomotores escolhidos como elemento de actuação nas juntas são da HITEC, modelo HS-805BB cuja tabela de especificações está representada na Erro! A origem da referência não foi encontrada..

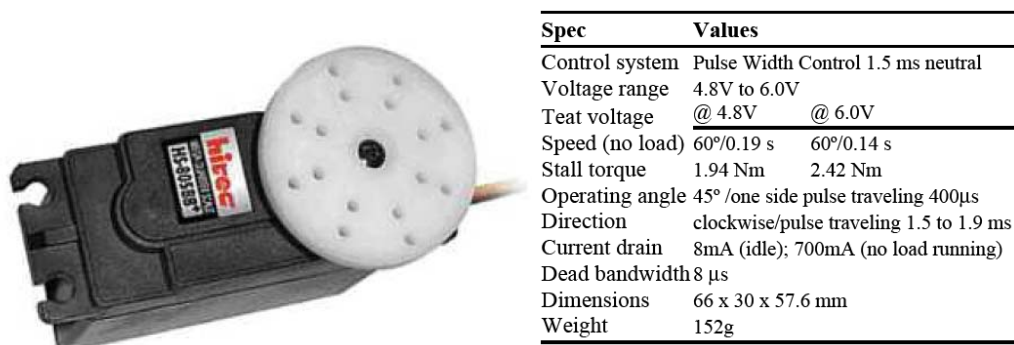


Figura 2-1 - Servomotor HITEC HS-805BB -

Este servomotor destaca-se por possuir um binário máximo de 2.42, mas ficando ainda assim aquém do binário máximo necessário (segundo simulações) para o pior cenário de actuação. A forma de se aumentar o binário é utilizando engrenagens de transmissão, sacrificando por outro lado velocidade e gama de excursão do servomotor.

¹ Ver RUAS, Milton; *Desenvolvimento de Algoritmos de Controlo para Locomoção de um Robot Humanóide – Relatório Final de Projecto*; Julho de 2006.

Esta foi a solução adoptada para compensar a necessidade de binários superiores ao fornecido pelo servomotor. Dessa forma, estão dispostas em todas as juntas da estrutura polias (engrenagens) de transmissão com uma relação que varia de 1, 2,5 ou 3,75. A transmissão do binário é efectuada por correias (**Figura 2-2**).



Figura 2-2 - Polias de transmissão existentes ao longo da estrutura

Para o controlo de posição existem duas possibilidades:

- ✚ Controlo electrónico existente nos servos, designado por controlo em malha aberta, pois este controlador não é acessível pelas *slaves*.
- ✚ Controlador PID (Proporcional+Integrador+Derivativo), com os seus parâmetros directamente acessíveis pela Unidade Principal.

O controlo em malha aberta, por ser inatingível via software não será abordado no contexto deste relatório isto porque toda a sua estrutura já foi apresentada e analisada em anos anteriores.

2.2.1 Controlador PID

Na continuação do trabalho que tinha sido desenvolvido no ano anterior, continuou-se na procura dos parâmetros PID que melhor se aplicam ao trabalho dos servomotores.

Para auferir os parâmetros do controlador PID, recorreu-se ao método sugerido no ano anterior:

1. Aumentar K_i , de modo a otimizar o tempo de atraso, até começar a ocorrer overshoot;
2. Aumentar o valor de K_p o suficiente para eliminar o overshoot. Não convém utilizar este parâmetro para otimizar o tempo de atraso, uma

vez que o tempo de estabelecimento é, ao mesmo tempo, agravado. Deixemos, por isso, essa tarefa à acção integral;

3. Se a resposta transitória ainda não for demasiado oscilante, voltar ao passo 1 para melhorar ainda mais o tempo de atraso;
4. Se começar a instabilizar durante a fase transitória, aumentar o parâmetro K_D de modo a conferir suavidade durante o percurso;
5. Voltar ao passo 1.

Para isso foi criado o GUI ControlTest, **Figura 2-3**, que permite seleccionar os parâmetros do controlador e verificar os resultados obtidos para uma trajectória definida.

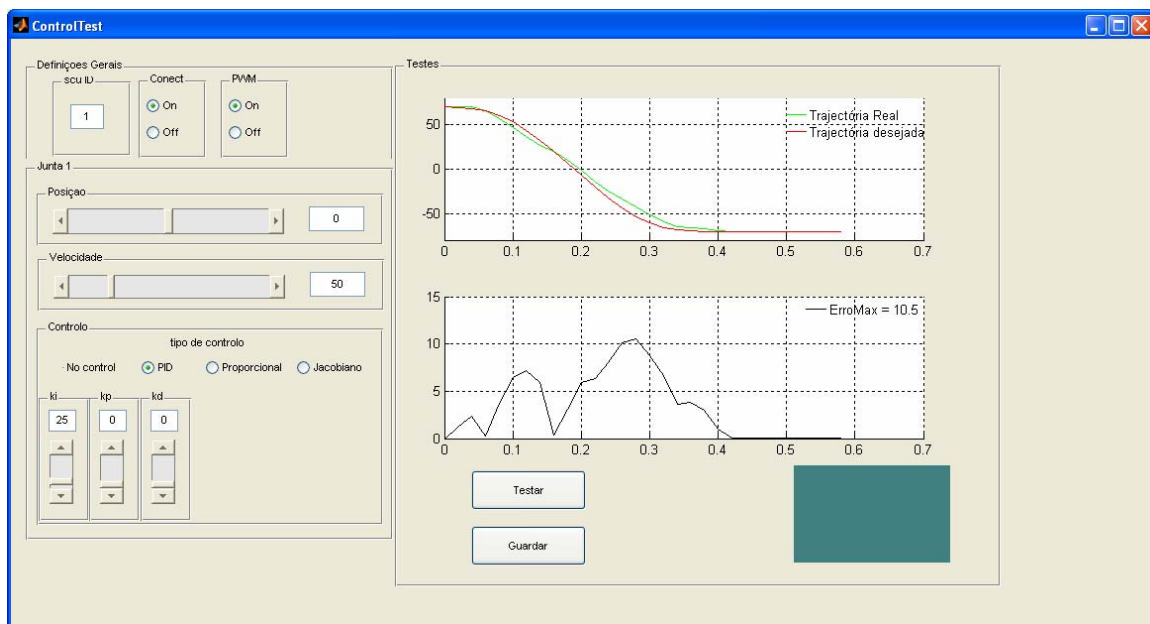


Figura 2-3 - GUI para teste do controlador PID

Esta interface de testes do controlador de posição PID, permite definir os parâmetros PID, aplicar uma velocidade e realizar o teste de uma trajectória definida no *script* de testes. Os resultados obtidos podem depois ser guardados num ficheiro que descreve os parâmetros usados.

No entanto, este teste só é aplicável a um servo e, como essa experiência já tinha sido desenvolvida no ano anterior, optou-se por realizar uma análise do controlador com movimentos articulados de várias juntas.

Utilizou-se toda a perna do robô para encontrar os parâmetros PID passíveis de realizar a trajectória do movimento mais próxima possível do previsto. O movimento

utilizado para o teste foi o de flexão de uma perna, **Figura 2-4**. Nesse movimento são envolvidos os servos do tornozelo, do joelho e o da anca.

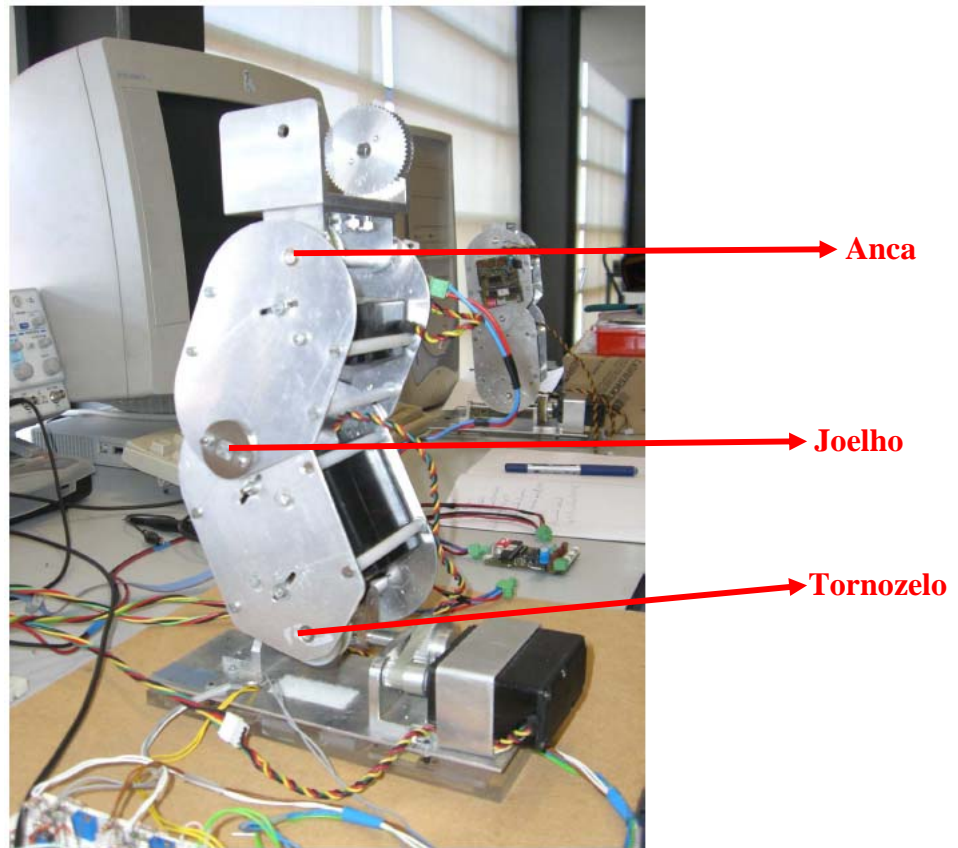


Figura 2-4 - Movimento de flexão de uma perna

Numa primeira fase do teste não se colocou carga na anca e só se aplicou o controlador PID à junta do tornozelo e à junta do joelho, estando a junta da anca em malha aberta. Os parâmetros foram ajustados segundo o método proposto até obter a resposta apresentada na **Figura 2-5** até à **Figura 2-7**.

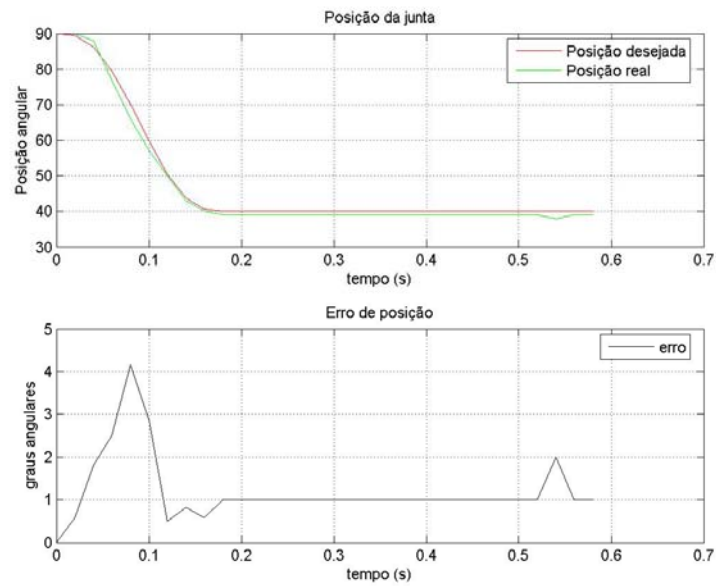


Figura 2-5 – Junta do tornozelo com $k_i=20$ $k_p=20$ $k_d=5$

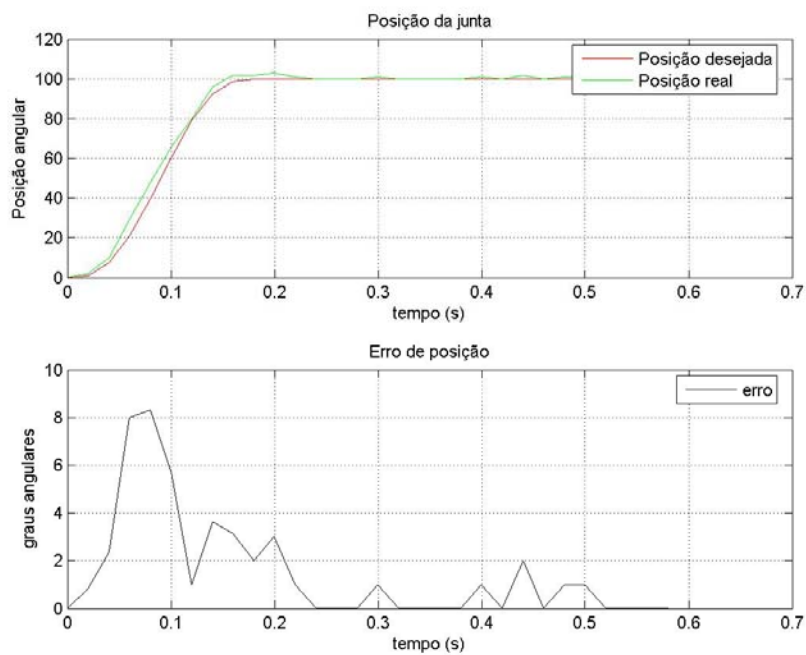


Figura 2-6 Junta do joelho com $k_i=20$ $k_p=20$ $k_d=0$

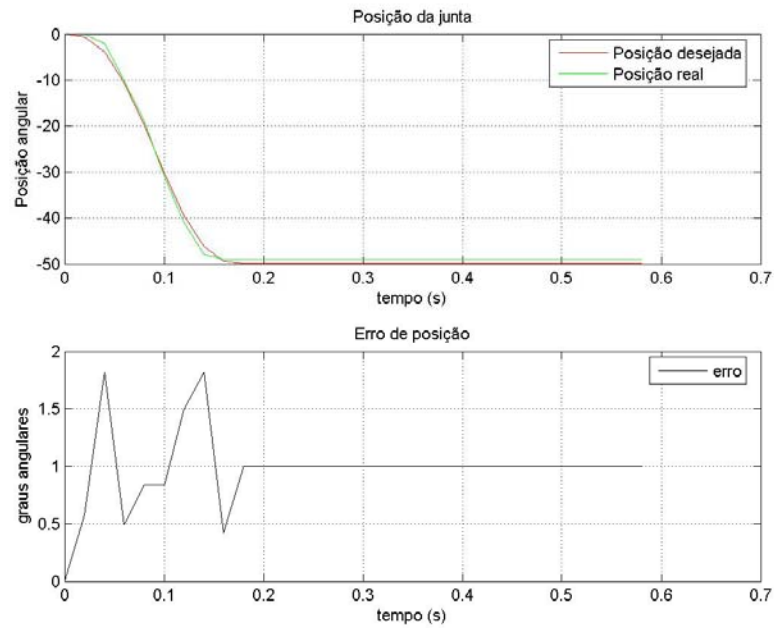


Figura 2-7 – Junta da anca em malha aberta

Nesta primeira experiência estão representadas as trajetórias dos 3 servos que perfazem o movimento de flexão de perna. Esta é a resposta do controlador com os parâmetros PID ajustados.

Efectuando a mesma experiência mas com uma carga total na anca de 713g, mantiveram-se os parâmetros PID para comparar a sua resposta. Desta vez activou-se o controlador PID da junta da anca porque agora suportava uma carga. Os resultados obtidos estão representados da **Figura 2-8** até **Figura 2-10**.

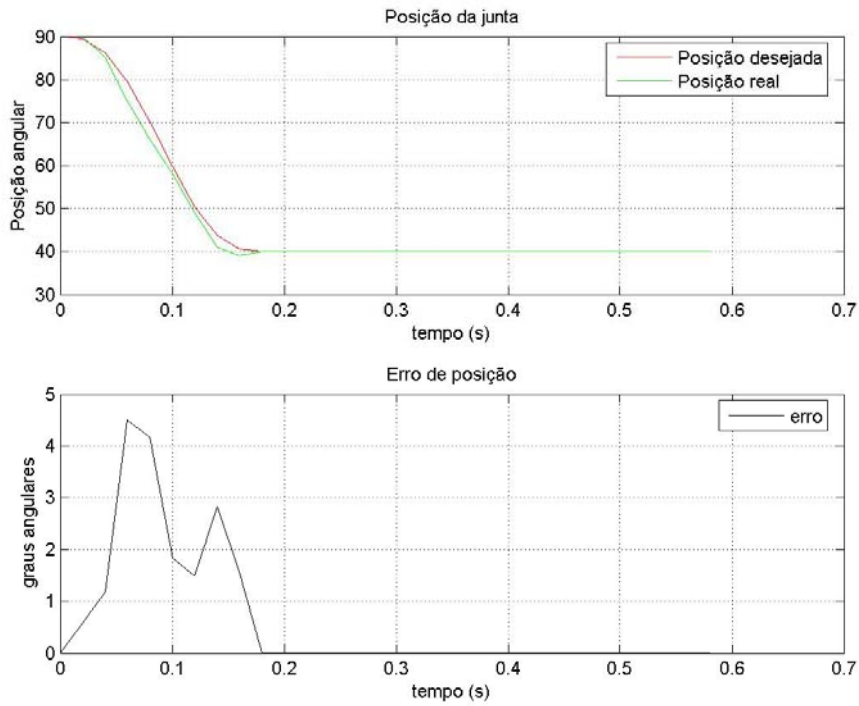


Figura 2-8 – Junta do tornozelo com $k_i=20$ $k_p=20$ $k_d=5$

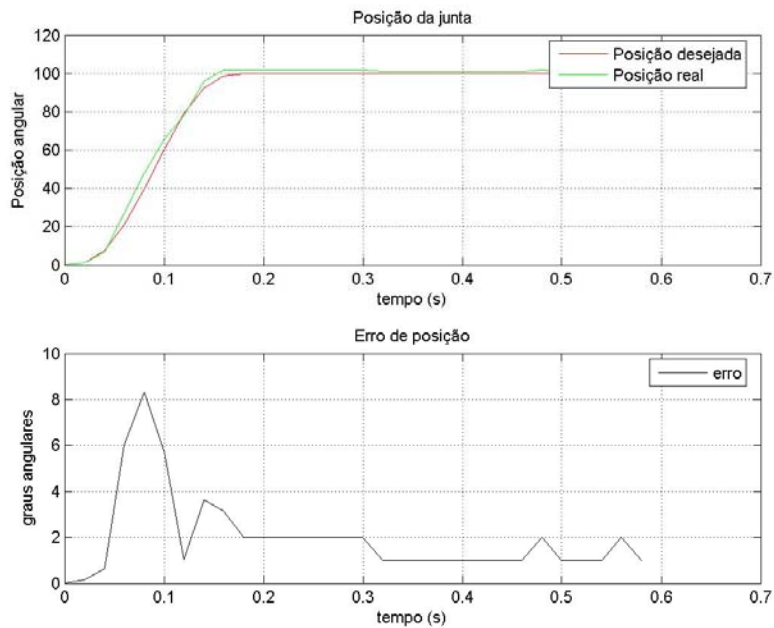


Figura 2-9 – Junta do joelho com $k_i=20$ $k_p=20$ $k_d=0$

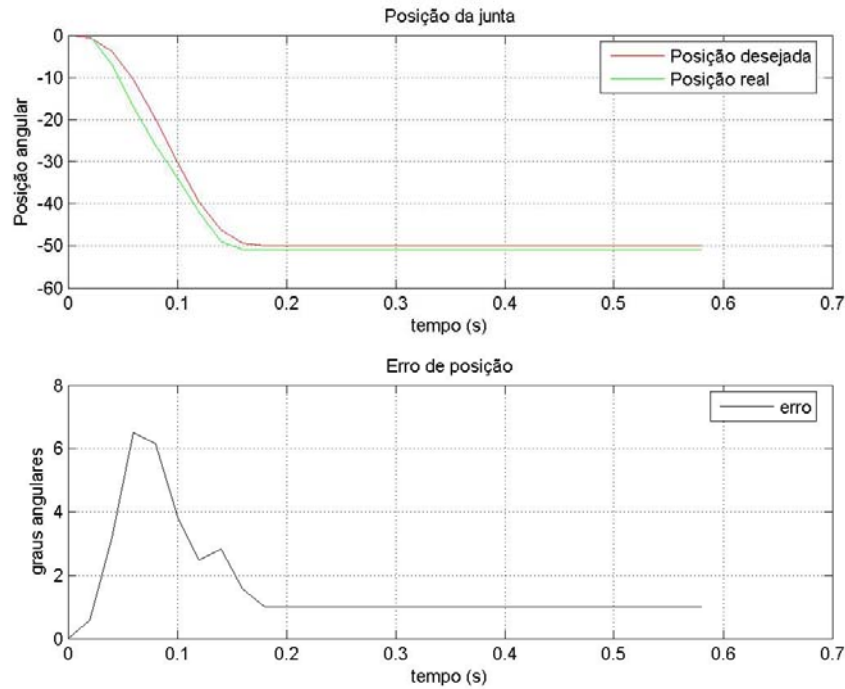


Figura 2-10 – Junta da anca com $k_i=30$ $k_p=15$ $k_d=0$

Numa análise comparativa, junta a junta, pode-se observar que não há muitos desvios nas suas respostas. O caso mais expressivo de divergência entre resposta esperada e obtida é a junta da anca, que na experiência anterior não tinha o controlador activo e nesta nova experiência, com controlador, revelou uma resposta mais rápida do que o esperado.

2.2.2 Avaliação de Resultados

Apesar do resultado promissor, há que lembrar que a carga imposta era de somente 713g, muito abaixo da carga máxima que a perna terá de suportar, que é de aproximadamente 5kg. Muito embora a necessidade da continuação desta experiência com cargas superiores fosse essencial para obter conclusões mais realistas, tal revelou-se impossível na altura em que estes testes foram efectuados. Essa impossibilidade deveu-se à instabilidade da estrutura quando se tentou testar uma carga de 2kg.

Em estudos futuros deve tentar mensurar-se o efeito que o controlador PID de um servo tem nos outros servos e de que forma é que se pode tentar isolar essa interferência. A questão das interferências deve ser tida em conta numa implementação

futura desta controlador, porque não se trata de compensar um servo independente mas sim um sistema relacionado de 22 juntas.

O Graphical User Interface (GUI) criado para o controlo de um servomotor pode ser facilmente estendido para múltiplos servos de diferentes *slaves*. A sua utilização permite de uma forma simples e interactiva actuar directamente no ajuste dos parâmetros PID. Na **Secção 5**, falar-se-á mais sobre possíveis implementações deste tipo de interfaces gráficas.

Como nota final fica a remoção do parâmetro k_d do controlador PID, passando este a ser só um controlador PI (Proporcional+Integrador). As razões para esta alteração devem-se à baixa influência do parâmetro k_d no controlo. Associado a este pormenor estava a necessidade de integrar no protocolo de comunicações RS-232 um campo que permitisse actuar sobre o controlador de 1º nível (ver **Secção 2.1.2**). A solução foi usar o campo do parâmetro k_d para esse efeito.

3 Algoritmos de controlo baseados em realimentação sensorial

O robô humanóide é dotado de um conjunto de capacidades sensoriais. Utilizando controladores apropriados, associados aos sinais provenientes destes sensores pode induzir-se no humanóide um comportamento mais adaptativo às condições existentes. Assim, há semelhança do ser humano, o humanóide será capaz de apresentar um movimento baseado na sua experiência sensorial.

Os sensores em estudo são os sensores de força e os acelerómetros que sob determinadas condições comportar-se-ão aproximadamente como inclinómetros.

Os testes efectuados com estes sensores envolveram somente o uso de uma perna. Espera-se dessa forma, criar condições para no futuro haver uma implementação dos controladores testados ao nível de toda a plataforma humanóide.

3.1 Controlador baseado nas forças de reacção

No seguimento do estudo feito no ano anterior destes sensores e, dos controladores implementados, procedeu-se este ano à continuação do estudo e melhoramento desses controladores.

3.1.1 Sensores de força: Extensómetros¹

O primeiro contacto com o robô humanóide foi o controlo do equilíbrio de uma perna baseado na análise dos sensores de força. O robô humanóide dispõe de 4 sensores de força em cada pé, que se deformam consoante o peso que estiverem a suportar. Estes sensores são placas de acrílico deformável com um extensómetro para medir a deformação, **Figura 3-1**. Não se pretende com este sistema saber a força exacta exercida sobre o pé mas sim a força relativa, daí que não se use uma relação directa entre deformação e força aplicada. Os objectivos pretendidos com estes sensores centram-se no controlo do equilíbrio da perna. O equilíbrio é-nos fornecido pelo centro de pressão (CoP, ponto de aplicação da força de reacção resultante no pé).

¹ Ver RUAS, Milton; *Desenvolvimento de Algoritmos de Controlo para Locomoção de um Robot Humanóide – Relatório Final de Projecto*; Julho de 2006.

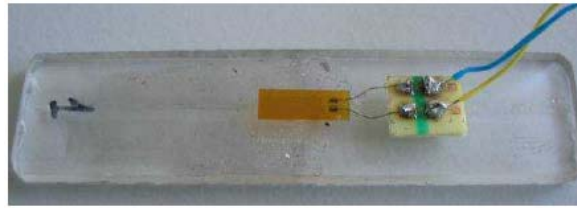


Figura 3-1 – Placa de acrílico com um extensómetro colado

Como os sensores têm aproximadamente o mesmo tipo de deformação quando sujeitos à mesma força, o raciocínio subjacente ao cálculo do centro de pressão situa-se numa média pesada de todos os extensómetros. O peso que cada extensómetro apresenta é um vector com a sua localização em relação ao centro do pé, isto é a sua posição em xx e yy , **Figura 3-2**. Isto possibilita que com base no valor dos extensómetros, desde que previamente calibrados a zero no ponto de referência (CoP_{ref}), se possa derivar a posição relativa em relação a esse ponto.

Têm-se então que a distância de cada extensómetro ao centro do pé é dada pelo vector: $\vec{d}_i = (x_i, y_i)$. O centro de pressão é definido por uma posição cartesiana dada por: $CoP = (CoP_x, CoP_y)$, onde, as fórmulas de cálculo do seu valor segundo as suas duas componentes são dadas pelas equações seguintes:

$$CoP_x = \frac{\sum_{i=1}^4 F_i \cdot x_i}{\sum_{i=1}^4 F_i} \quad CoP_y = \frac{\sum_{i=1}^4 F_i \cdot y_i}{\sum_{i=1}^4 F_i} \quad (3-1)$$

Um problema a salientar destas aproximações é que elas são calculadas baseando-se numa deformação igual de cada placa face à mesma força aplicada mas, isso não se verifica na prática, cada placa tem uma recta de deformação com um declive ligeiramente diferente das outras e, há também as zonas de não linearidade que não são contempladas. Isto a somar à aproximação linear da resposta dos extensómetros pode afectar um cálculo preciso do CoP.

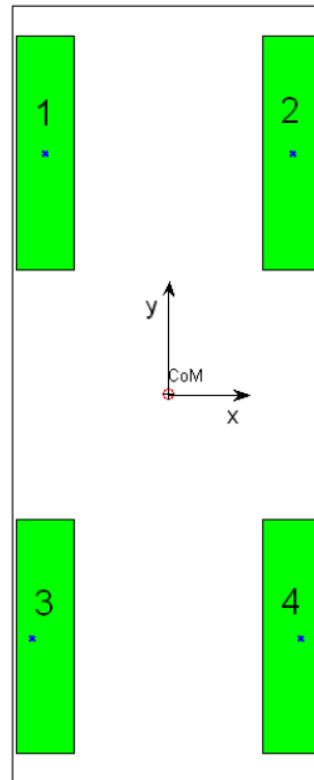


Figura 3-2 – Distribuição dos sensores de força pelo pé e o referencial usado

Quando se pretende que o CoP_{ref} se situe aproximadamente no centro do pé de suporte, então calibra-se os sensores de força a zero quando a perna estiver na sua posição vertical (relativamente ao plano da Terra). Este CoP_{ref} é definido como sendo o ponto (0,0) e é partir daqui que se calculam os erros que alimentam o controlador do CoP.

Pode-se ainda, utilizar o CoP_{ref} para definir uma trajectória da anca e utilizar este tipo de movimento para definir movimentos mais complexos baseados unicamente na experiência sensorial.

3.1.2 Controlador usando a matriz Jacobiana¹

Para a derivação de uma relação matemática entre uma grandeza linear de distância, CoP, e um parâmetro angular, velocidade, tem de se recorrer à matriz jacobiana.

¹ A implementação deste controlador foi alterada durante este ano de forma integrar a altura da anca

$$\bar{J} = \frac{\partial C\bar{o}M}{\partial \bar{q}} = \begin{bmatrix} \frac{\partial CoM_x}{\partial \theta_0} & \frac{\partial CoM_x}{\partial \theta_1} & \frac{\partial CoM_x}{\partial \theta_2} \\ \frac{\partial CoM_y}{\partial \theta_0} & \frac{\partial CoM_y}{\partial \theta_1} & \frac{\partial CoM_y}{\partial \theta_2} \\ \frac{\partial z}{\partial \theta_0} & \frac{\partial z}{\partial \theta_1} & \frac{\partial z}{\partial \theta_2} \end{bmatrix} \quad (3-2)$$

O cálculo destas expressões pode ser feito com base nas **Figura 3-3** e **Figura 3-4**. Nestas figuras, o L representa o comprimento do elo, o R a distancia entre o início do elo e o seu centro de massa e o M a massa total do elo.

Com esta matriz, não se pretende só determinar as relações entre o CoP e a velocidade angular, mas também uma relação entre a última e a altura da anca.

A derivação das expressões que preenchem esta matriz é extensa mas facilmente dedutível, por isso são apresentados na **Tabela 3-1**, as deduções finais.

Considerando,

$$M_0 \approx M_1 \approx 0$$

$$L_1 \approx 0$$

Derivadas parciais do CoM_y:

$$\frac{\partial CoM_y}{\partial \theta_1} = 0$$

$$\frac{\partial CoM_y}{\partial \theta_2} = - \frac{M_2 \cdot R_2 \cdot \cos(\theta_2) + M_3 \cdot (L_2 \cdot \cos(\theta_2) + R_3 \cdot \cos(\theta_2 + \theta_3))}{M_2 + M_3}$$

$$\frac{\partial CoM_y}{\partial \theta_3} = - \frac{M_3 \cdot R_3 \cdot \cos(\theta_2 + \theta_3)}{M_2 + M_3}$$

Derivadas parciais do CoM_x:

$$\frac{\partial CoM_x}{\partial \theta_1} = -\frac{M_2 \cdot R_2 \cdot \cos(\theta_2) + M_3 \cdot (L_2 \cdot \cos(\theta_2) + R_3 \cdot \cos(\theta_2 + \theta_3))}{M_2 + M_3} \cdot \cos(\theta_1)$$

$$\frac{\partial CoM_x}{\partial \theta_2} = -\frac{M_2 \cdot R_2 \cdot \sin(\theta_2) + M_3 \cdot (L_2 \cdot \sin(\theta_2) + R_3 \cdot \sin(\theta_2 + \theta_3))}{M_2 + M_3} \cdot \sin(\theta_1)$$

$$\frac{\partial CoM_x}{\partial \theta_3} = -\frac{M_3 \cdot R_3 \cdot \sin(\theta_2 + \theta_3)}{M_2 + M_3} \cdot \sin(\theta_1)$$

Derivadas parciais da altura z:

$$\frac{\partial z}{\partial \theta_1} = -\frac{M_2 \cdot R_2 \cdot \cos(\theta_2) + M_3 \cdot (L_2 \cdot \cos(\theta_2) + R_3 \cdot \cos(\theta_2 + \theta_3))}{M_2 + M_3} \cdot \sin(\theta_1)$$

$$\frac{\partial z}{\partial \theta_2} = -\frac{M_2 \cdot R_2 \cdot \sin(\theta_2) + M_3 \cdot (L_2 \cdot \sin(\theta_2) + R_3 \cdot \sin(\theta_2 + \theta_3))}{M_2 + M_3} \cdot \cos(\theta_1)$$

$$\frac{\partial z}{\partial \theta_3} = -\frac{M_3 \cdot R_3 \cdot \sin(\theta_2 + \theta_3)}{M_2 + M_3} \cdot \cos(\theta_1)$$

Tabela 3-1 - Expressões da matriz jacobiano

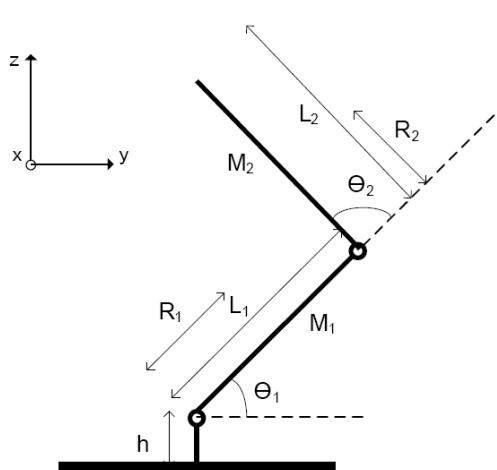


Figura 3-3 – Diagrama representativo de uma perna sob a vista lateral

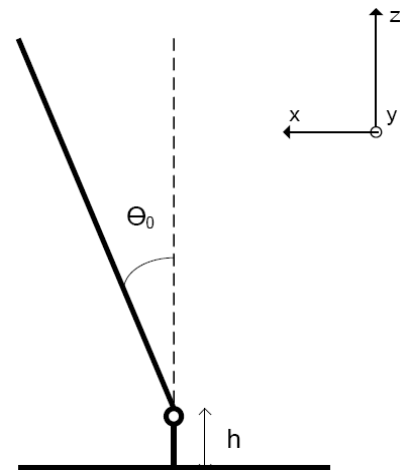


Figura 3-4 – Diagrama representativo de uma perna sob a vista frontal

A equação de controlo usada, é então:

$$\vec{v} = \vec{K}_p \cdot [\vec{J}^{-1}(q) \times \vec{e}], \quad (3-3)$$

onde o “ v ” é o incremento a aplicar à junta respectiva, o “ K_p ” é um vector com o ganho controlador para cada direcção, o “ J^{-1} ” é a inversa da matriz jacobiana e o “ e ” é o vector com o erro em cada direcção.

Como a inversa da matriz jacobiana teria de ser calculada em cada instante, porque as posições das juntas variam e, devido ao peso que isso representa para o processamento numa PIC, optou-se por fazer uma aproximação, usando a matriz transposta da matriz jacobiana em vez da sua inversa. Dessa forma a equação de controlo é a mostrada na **Equação 3-1**.

$$\vec{v} = \vec{K}_p \cdot [\vec{J}^T(q) \times \vec{e}] \Leftrightarrow \begin{bmatrix} v_0 \\ v_1 \\ v_2 \end{bmatrix} = \begin{bmatrix} K_{p0} \\ K_{p1} \\ K_{p2} \end{bmatrix} \cdot \left(\begin{bmatrix} J_{11} & J_{21} & J_{31} \\ J_{12} & J_{22} & J_{32} \\ J_{13} & J_{23} & J_{33} \end{bmatrix} \times \begin{bmatrix} e_x \\ e_y \\ e_z \end{bmatrix} \right) \quad (3-4)$$

Equação 3-1 - Equação de controlo do CoP

3.1.3 Testes e Resultados

O teste realizado com o controlador baseado nos sensores de força foi alterar de forma constante o CoP de referência de forma a este perfazer um rectângulo. Este teste foi realizado com o controlador local em malha aberta e alterando o CoP_{ref} de forma à trajectória dar 10 voltas ao rectângulo. Dessa forma pode-se analisar a resposta do controlador segundo diferentes perspectivas. Os resultados obtidos estão representados nos gráficos abaixo. Há 4 gráficos diferentes para cada experiência, no primeiro está representado a trajectória do CoP, nos restantes gráficos tem-se a variação do CoP segundo as várias componentes (x, y, z), a componente z representa a altura pretendida para a anca, que também é definida como fazendo parte do CoP.

Usou-se para todas as experiências um ganho K_p de 50, dado que este valor se revelou, em experiências paralelas, ser o mais ajustado para o controlador. Para todos os casos a perna iniciava-se completamente esticada.

Para a primeira experiência a velocidade do movimento era de 2s por aresta (Figura 3-5 a Figura 3-8).

Alterou-se na segunda experiência a velocidade do movimento para 4s por aresta (Figura 3-9 a Figura 3-12).

Para a última experiência colocou-se a velocidade de movimento a 5s por aresta (Figura 3-13 a Figura 3-16).

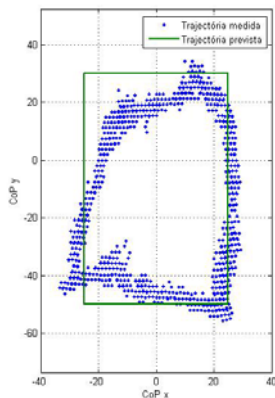


Figura 3-5 - Trajectória do CoP

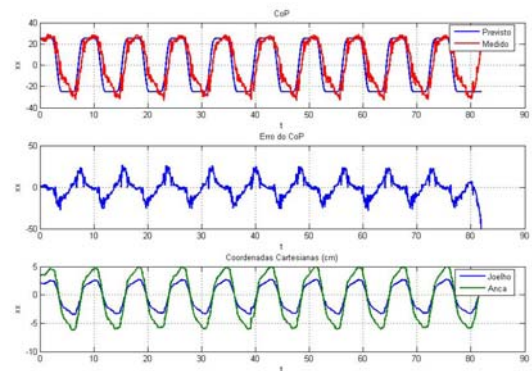


Figura 3-6 - Eixo dos xx

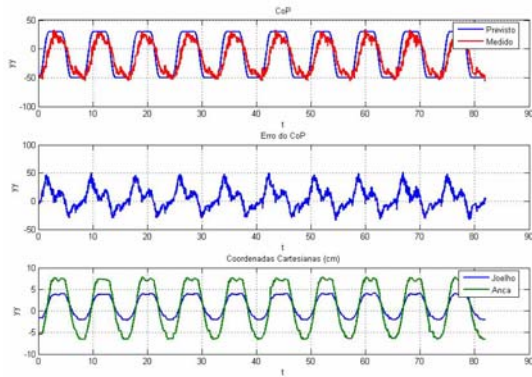


Figura 3-7 - Eixo dos yy

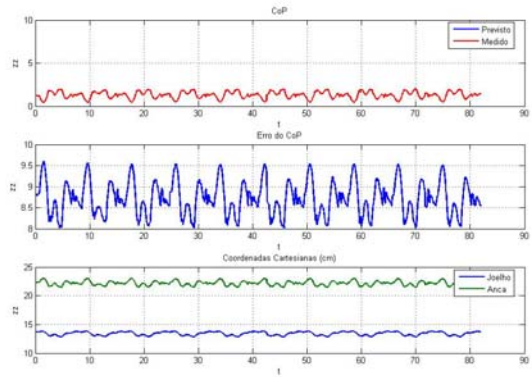


Figura 3-8 - Eixo dos zz

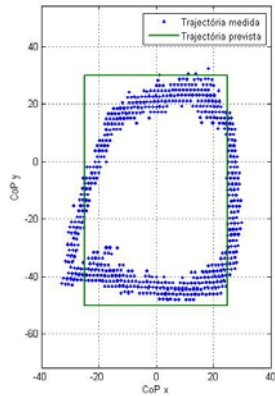


Figura 3-9 - Trajectória do CoP

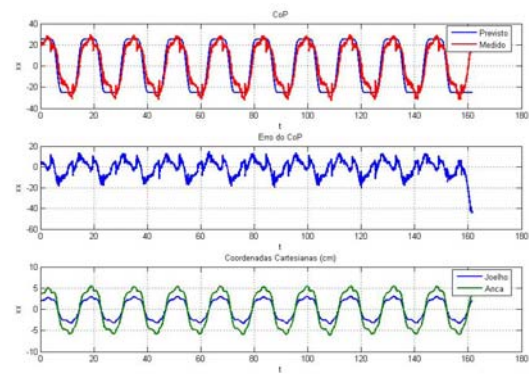


Figura 3-10 - Eixo dos xx

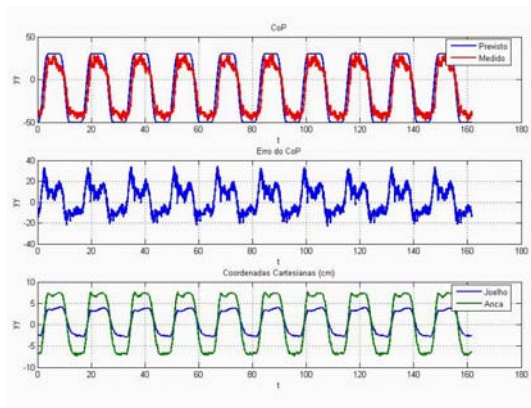


Figura 3-11 - Eixo dos yy

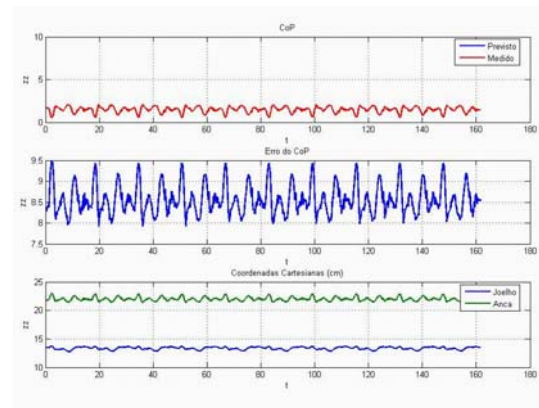


Figura 3-12 - Eixo dos zz

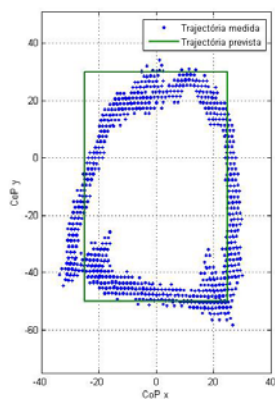


Figura 3-13 - Trajectória do CoP

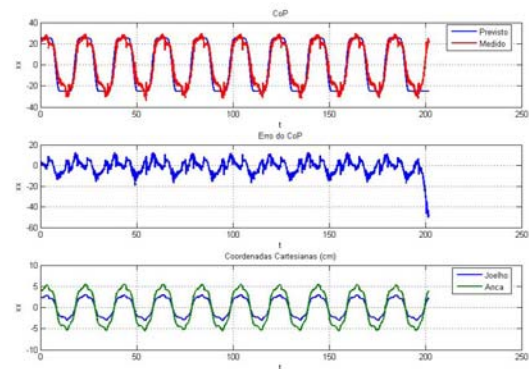


Figura 3-14 - Eixo dos xx

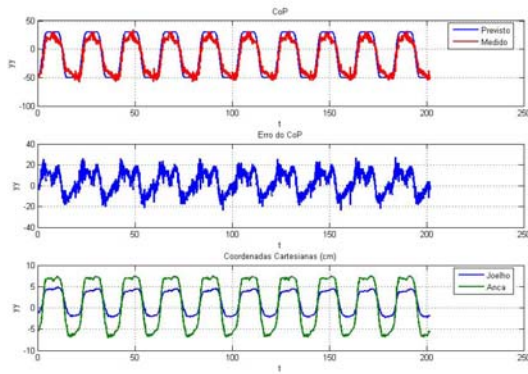


Figura 3-15 - Eixo dos yy

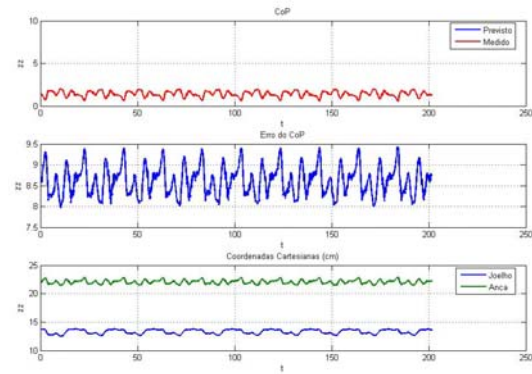


Figura 3-16 - Eixo dos zz

Com a diminuição da velocidade de movimento há uma melhoria da resposta do controlador o que já de esperava à priori. No entanto, há certos pontos da trajectória prevista que nunca são atingidos. A explicação para esse sucedido passa pela suposição inicial de que todas as placas têm a mesma curva de deformação. O que acontece é que nesses pontos da trajectória, a sensibilidade da placa está ligeiramente superior às outras, não permitindo que o CoP seja calculado com precisão. Já o contrário também acontece, há pontos da trajectória que são ultrapassados, isto porque a sensibilidade associada às placas situadas nesses pontos é inferior às restantes e portanto, tem de haver uma maior pressão sobre essas placas, para obter a leitura desejada.

Um problema mais explícito passa pelo controlo de altura, que mantém um erro muito acima do desejado e, sem grandes alterações durante todas as experiências. Esta situação ocorre, porque durante este teste a perna iniciava-se esticada, estando portanto num ponto de singularidade difícil de sair. Conclui-se daqui, que este ponto de singularidade deve ser evitado no futuro, quando se activar o controlador do CoP, ou então alterar a matriz jacobiana de forma a corrigir esta situação.

3.2 Controlador da postura da anca

Uma das restrições habitualmente usadas na definição de padrões de locomoção é manter a postura da anca sempre constante, permitindo dessa forma coordenar os movimentos abaixo da anca (pernas) e acima da anca (tronco e braços), sem que haja interferência directa de uns nos outros.

Para efectuar este controlo da postura da anca de uma forma adaptativa, à semelhança do que foi feito com o controlo do equilíbrio, faz-se um controlo com base na inclinação da anca em relação ao plano da Terra. Há assim dois eixos de inclinação possíveis. Os sensores usados para este tipo de medida são os inclinómetros já estudados em anos anteriores¹.

3.2.1 Sensores de inclinação: Inclinómetros

Os inclinómetros são um dispositivo de medida que nos indica a diferença angular entre a perpendicular do plano do inclinómetro e o vector da aceleração da gravidade.

Os inclinómetros usados são baseados num acelerómetro, o ADXL202E da *Analog Devices* (**Figura 3-18**). Este acelerómetro é capaz de distinguir variações da aceleração de $\pm 2g$ e mede tanto acelerações estáticas como acelerações dinâmicas. Este instrumento de medida da aceleração usa uma massa sísmica situada entre dois braços com sensores de força. Dessa forma qualquer vibração (acelerações dinâmicas) ou força constante (aceleração estática) é medida por estes sensores.

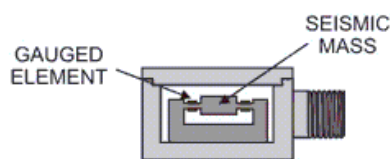


Figura 3-17 - Modo de funcionamento do acelerómetro



Figura 3-18 - Acelerómetro ADXL202E

¹ Ver GOMES, Luís; SILVA, Mauro; Percepção e Desenvolvimento de Unidades de Percepção e Controlo para um Robot Humanóide – Relatório Final de Projecto; 2004/05.

Este instrumento é capaz de medir a variação em dois eixos situados no plano paralelo à superfície da Terra, o pitch e roll. Estes nomes, derivados da aeronáutica, correspondem ao eixo dos yy e xx, respectivamente, utilizados para o humanóide, tal como representado na **Figura 3-19**. Para o cálculo da inclinação sofrida segundo os eixos xx e yy são usadas as seguintes fórmulas:

$$pitch = a \sin\left(\frac{Ay}{1g}\right) \quad (3-5)$$

$$roll = a \sin\left(\frac{Ax}{1g}\right) \quad (3-6)$$

A constante “A” representa um factor de leitura que é adquirido mediante calibração dos inclinómetros.

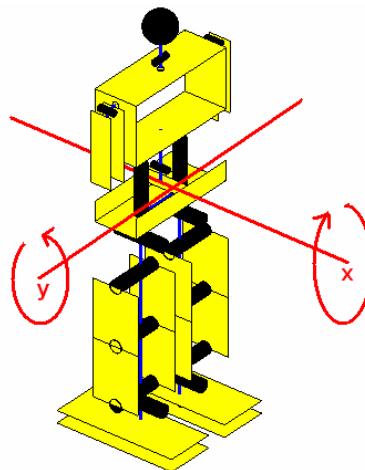


Figura 3-19 - Eixos de inclinação

Os inclinómetros estão posicionados de forma a medir a inclinação da anca nos dois eixos possíveis, relativamente ao plano da Terra. Os inclinómetros usados são na realidade acelerómetros que sob determinadas condições apresentam uma resposta aproximada dos inclinómetros. As condições necessárias para esse comportamento se verificar é não haver grandes acelerações dinâmicas na estrutura humanóide, isto porque, a aceleração medida pelos acelerómetros é a resultante entre a aceleração da gravidade (estática) e as acelerações dinâmicas. Se se conseguir limitar o segundo termo têm-se uma medida praticamente relativa só à aceleração da gravidade. É dessa forma que se pode aproximar a medida do acelerómetro à medição da inclinação real elemento associado ao acelerómetro.

3.2.2 Controlador proporcional

A relação existente entre a inclinação da anca e as juntas é:

$$pitch = inc_sup_y + 2.5 \cdot (q2 + q3 + q4) \quad (3-7)$$

$$roll = inc_sup_x + 2.5 \cdot q1 + 3.75 \cdot q5 \quad (3-8)$$

O *pitch* e o *roll*, já foram definidos e indicam a inclinação segundo o eixo dos *yy* e dos *xx*. As variáveis *inc_sup_y* e *inc_sup_x*, representam a inclinação do plano segundo o eixo dos *yy* e *xx*, respectivamente. As variáveis *q1*, *q2*, *q3*, *q4* e *q5* são as posições angulares das juntas numeradas de uma perna, tal como representado na **Figura 3-20**. As constantes 2.5 e 3.75 devem-se à relação de transmissão que existe entre os servos e as juntas.

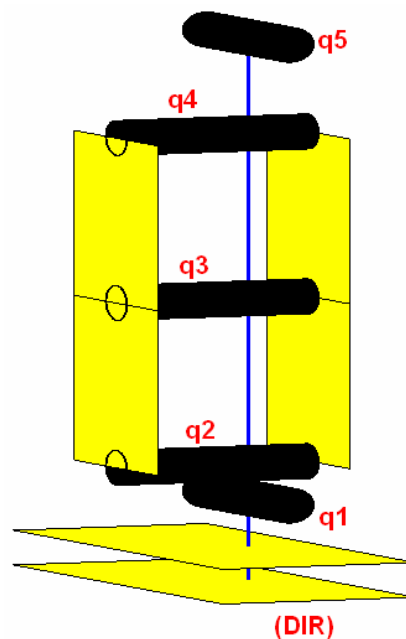


Figura 3-20 – Juntas que influenciam a inclinação da anca

Como para compensar a inclinação da anca só são necessárias duas juntas, desde que elas actuem sobre o *pitch* e o *roll* e como as 3 primeiras juntas são usadas pelo controlador de equilíbrio, optou-se por só usar as juntas 4 e 5 para fazer a devida compensação da inclinação da anca.

Dessa forma, através da medida efectuada pelo inclinómetro calcula-se a inclinação real da anca em relação ao plano da Terra. Se esse valor for diferente da

inclinação da anca pretendida então há um erro que têm de ser compensado. É usado um controlador proporcional que através do erro medido e usando uma constante de ganho permite calcular uma saída que corresponda ao incremento a aplicar à junta de forma a compensar o erro. A função de controlo segundo o pitch (eixo yy) é dada pela seguinte equação:

$$\Delta = 2.5 \cdot \text{erro} \cdot k \quad (3-9)$$

Neste caso, o delta é o incremento a aplicar ao servomotor responsável por compensar a inclinação na direcção em questão, o erro é a diferença entre a inclinação medida e a inclinação pretendida, o k é o ganho do controlador, é com este parâmetro que se ajusta a velocidade de actuação e o 2.5 é o valor da relação de transmissão existente entre os servos e a junta. Esta função só representa o caso em que se compensa o *pitch*. A resposta deste controlador está representada na **Figura 3-21**, para um ganho de 0.1 e de 0.5.

Para o caso em que se compensa o *roll*, a equação do controlador é:

$$\Delta = 3.75 \cdot \text{erro} \cdot k \quad (3-10)$$

Como os testes efectuados só usaram este controlador para compensar a inclinação da anca segundo o eixo dos yy (*pitch*), a equação de controlo para o eixo dos xx, não está ainda implementada.

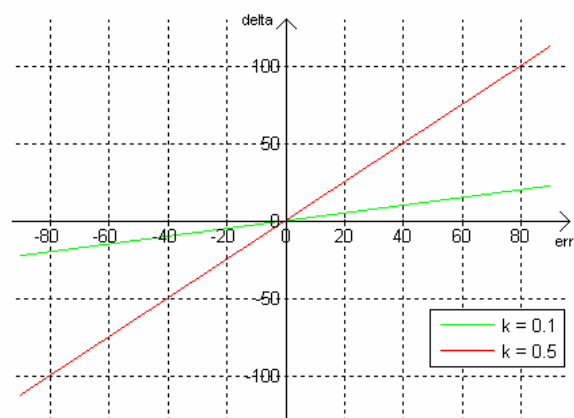


Figura 3-21 – Curva de resposta do controlador segundo o *pitch*

3.2.3 Testes e Resultados

A forma mais simples de testar o correcto funcionamento do controlador foi alterar a inclinação do plano e observar a sua reacção. Um outro teste realizado foi, utilizando uma repetição de uma trajectória rectangular realizada pela anca. Como a anca é móvel mas o pé que a suporta estava fixo, neste teste, então o movimento rectangular implica uma variação de inclinação da anca. Impôs-se uma inclinação de referência de zero graus e variaram-se velocidades de movimento e o ganho do controlador.

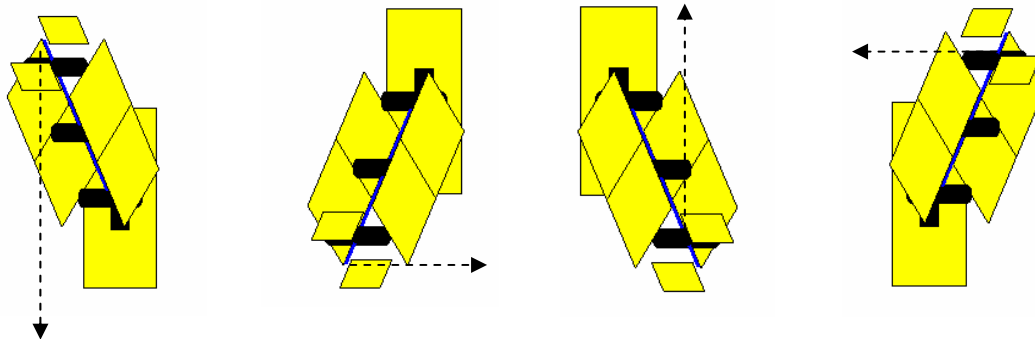


Figura 3-22- Movimento efectuado no teste do controlador dos inclinómetros (vista de cima)

Os resultados estão representados nos gráficos que se seguem. Foram testados diferentes ganhos para o controlador e diferentes velocidades para o movimento.

Para analisar os resultados estão representados, para cada experiência, três gráficos. O primeiro refere-se à inclinação da anca, no caso de não haver compensação, o segundo faz a comparação entre a resposta que era esperada e a resposta real do servo responsável pela compensação e o terceiro compara a inclinação real da anca com a inclinação medida pelo inclinómetro.

A seta presente em todas experiências representa o ponto onde o atraso entre a posição real e a posição esperada é maior.

Para o primeiro teste usou-se um tempo de movimento de 2s, que representa o tempo que a perna demora a percorrer cada uma das arestas do rectângulo. Os ganhos testados variaram entre 0.3 e 0.5 (**Figura 3-23** até **Figura 3-25**).

No segundo teste usou-se como tempo de movimento 4s e variou-se o ganho do controlador entre 0.1 e 0.5 (**Figura 3-26** até **Figura 3-30**).

Por último, testou-se o mesmo movimento com um tempo de execução de 5s por aresta (**Figura 3-31** até **Figura 3-32**).

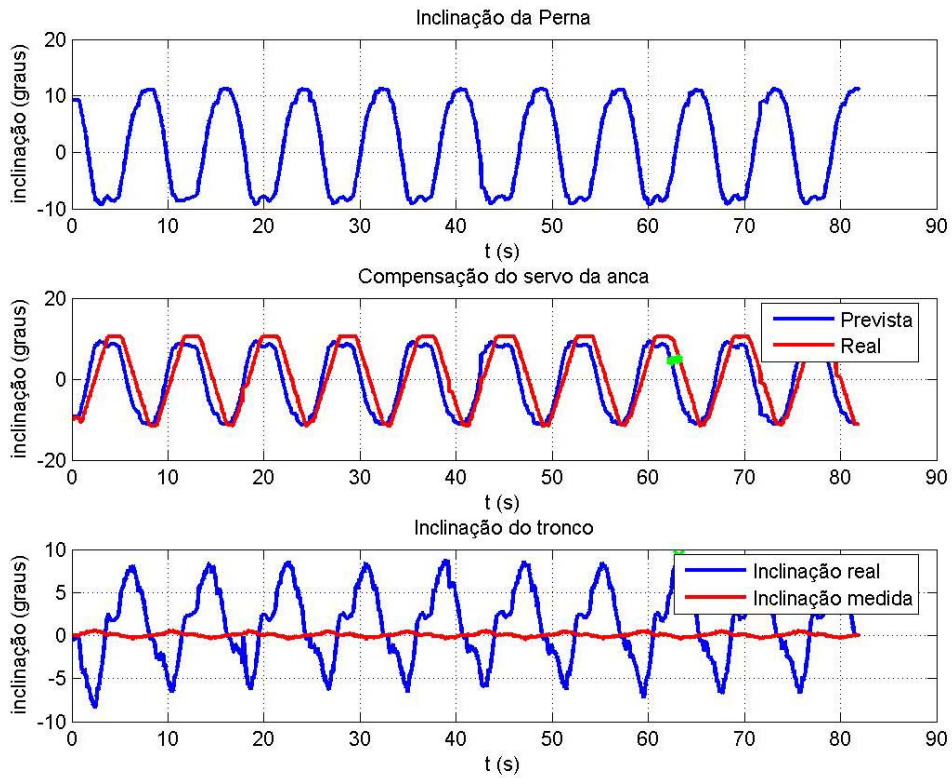


Figura 3-23 - Teste inclinómetros $t=2s$ $k=0.3$

Máximo tempo de atraso = 0.80s

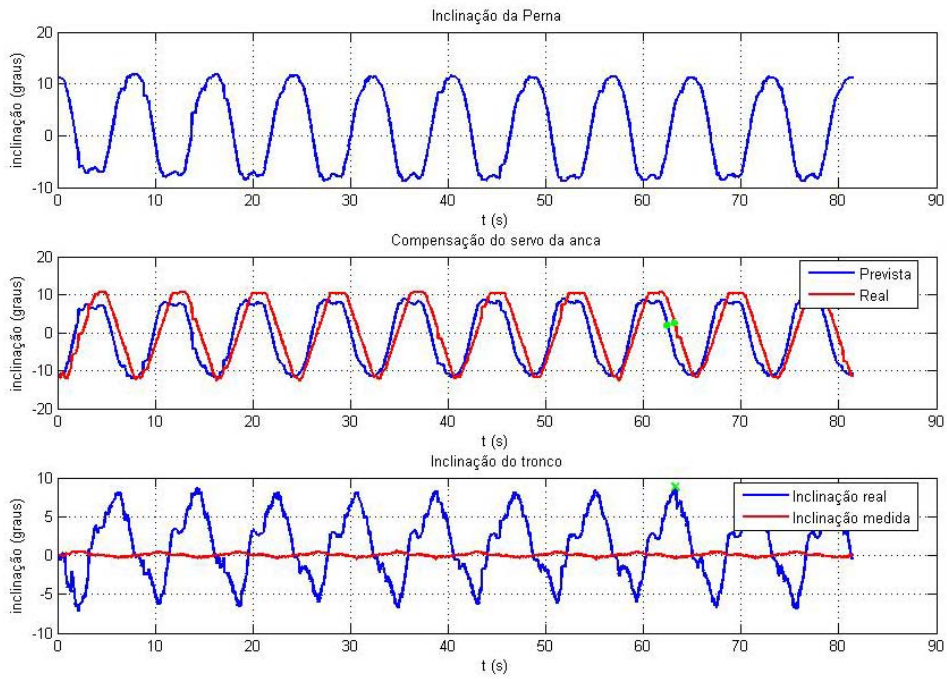


Figura 3-24 - Teste inclinómetros $t=2s$ $k=0.4$

Máximo tempo de atraso = 0.80s

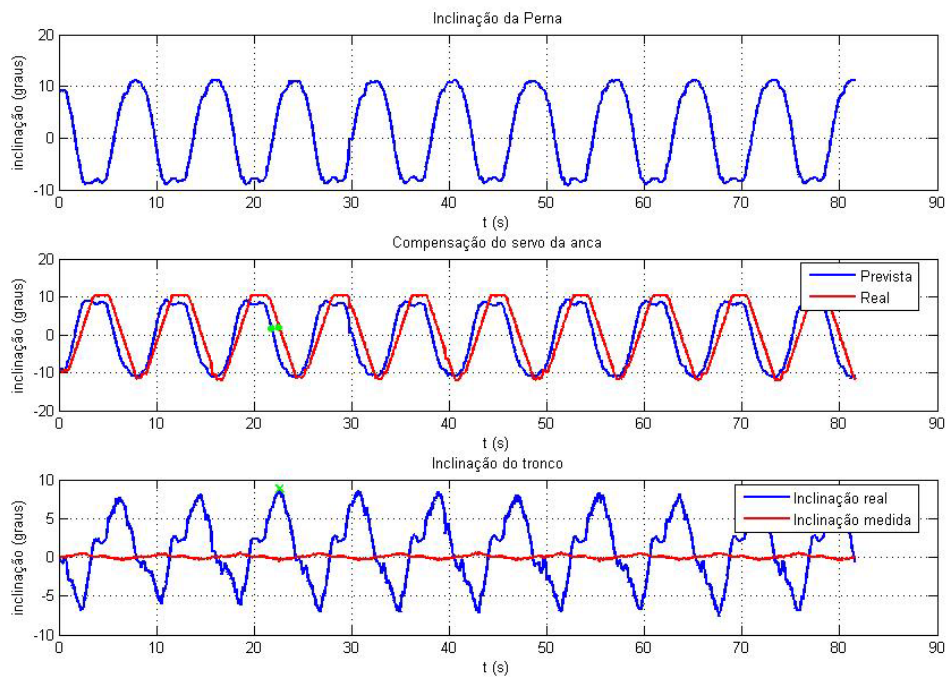


Figura 3-25 - Teste inclinómetros $t=2s$ $k=0.5$

Máximo tempo de atraso = 0.78s

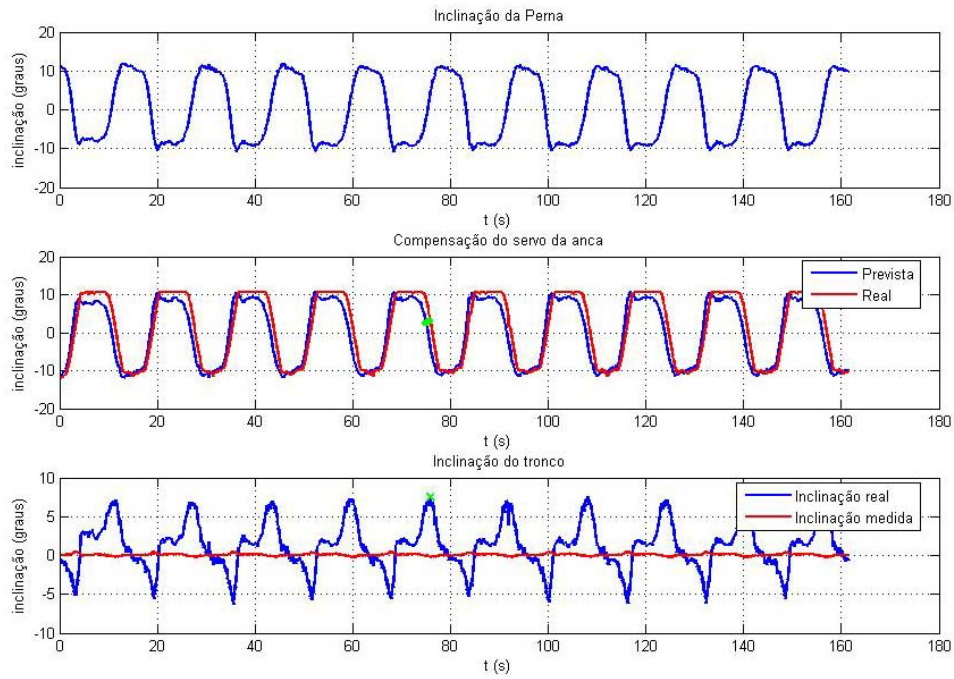


Figura 3-26 - Teste inclinómetros t=4s k=0.1

Máximo tempo de atraso = 0.88s

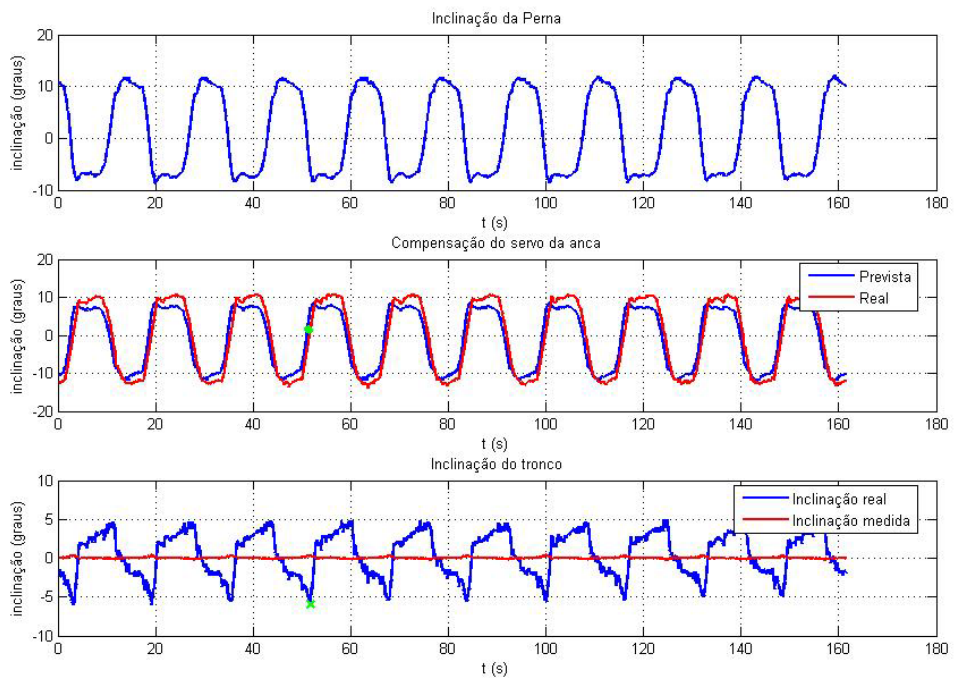


Figura 3-27 - Teste inclinómetros t=4s k=0.2

Máximo tempo de atraso = 0.58s

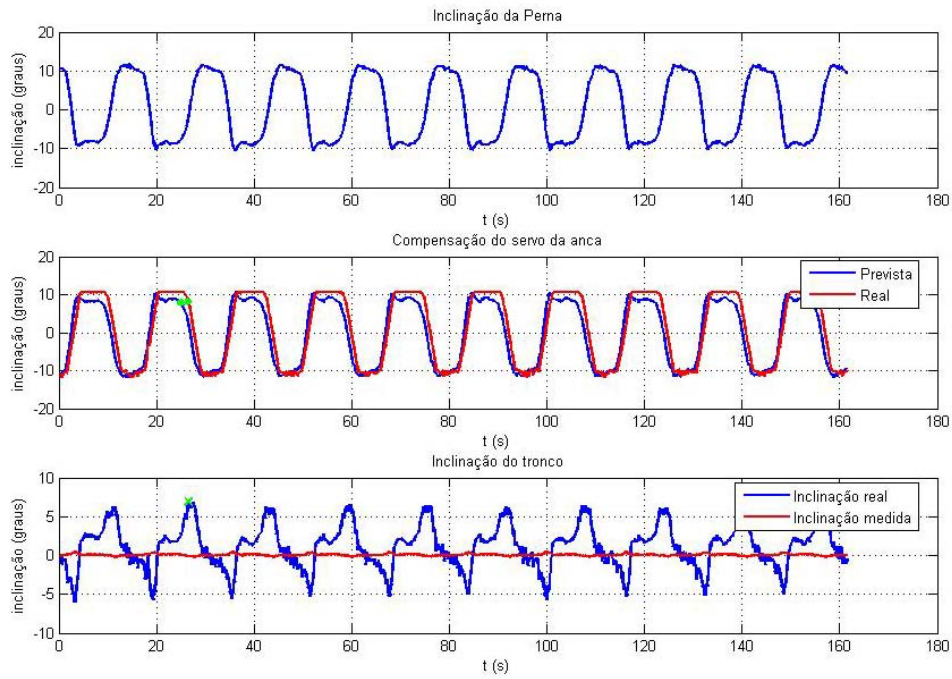


Figura 3-28 - Teste inclinómetros t=4s k=0.3

Máximo tempo de atraso = 1.56s

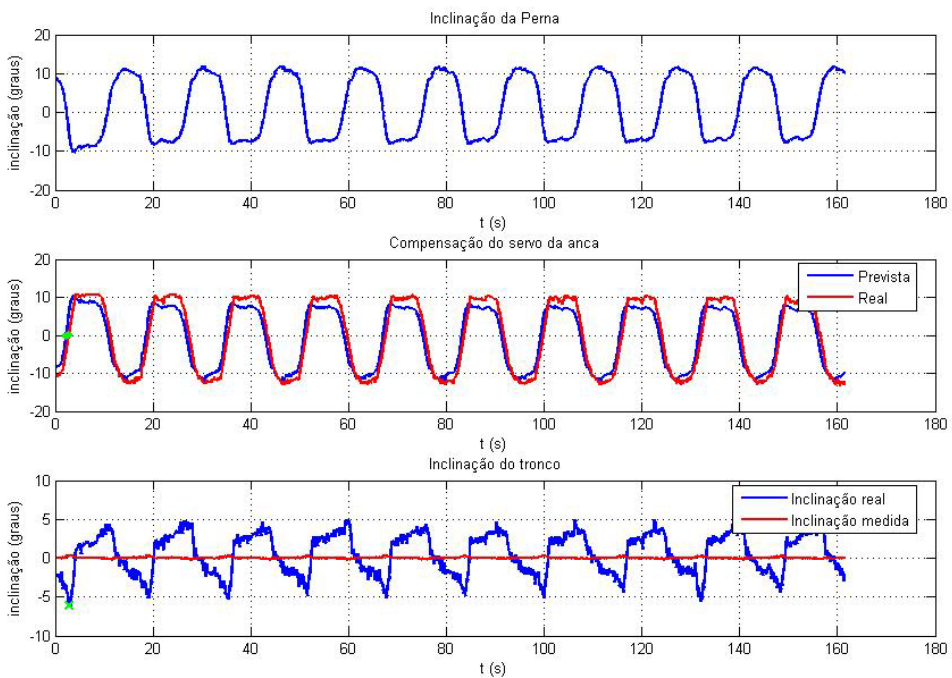


Figura 3-29 - Teste inclinómetros t=4s k=0.4

Máximo tempo de atraso = 0.58s

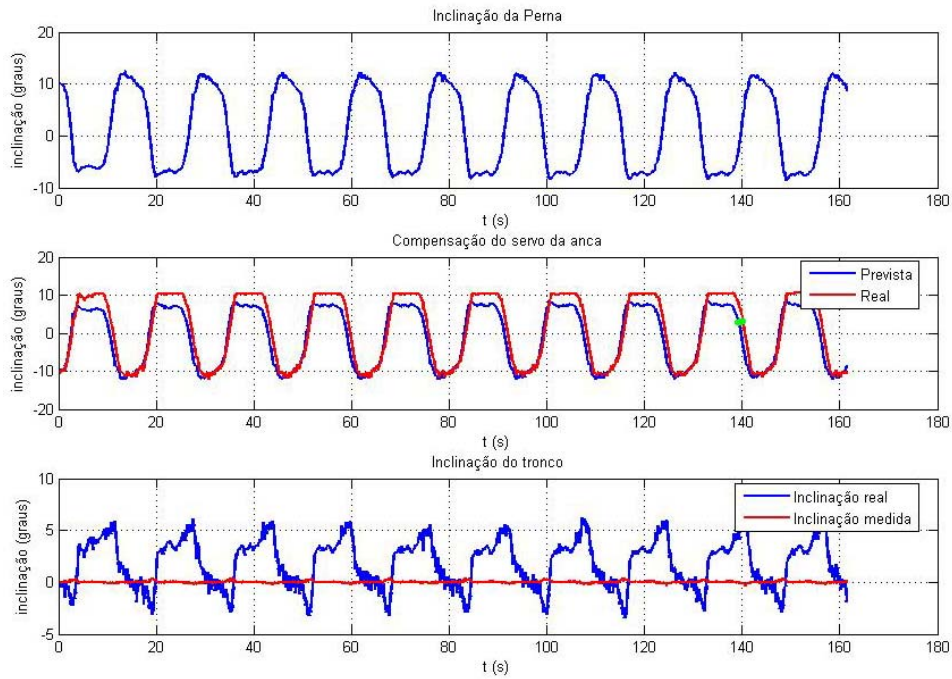


Figura 3-30 - Teste inclinómetros t=4s k=0.5

Máximo tempo de atraso = 0.84s

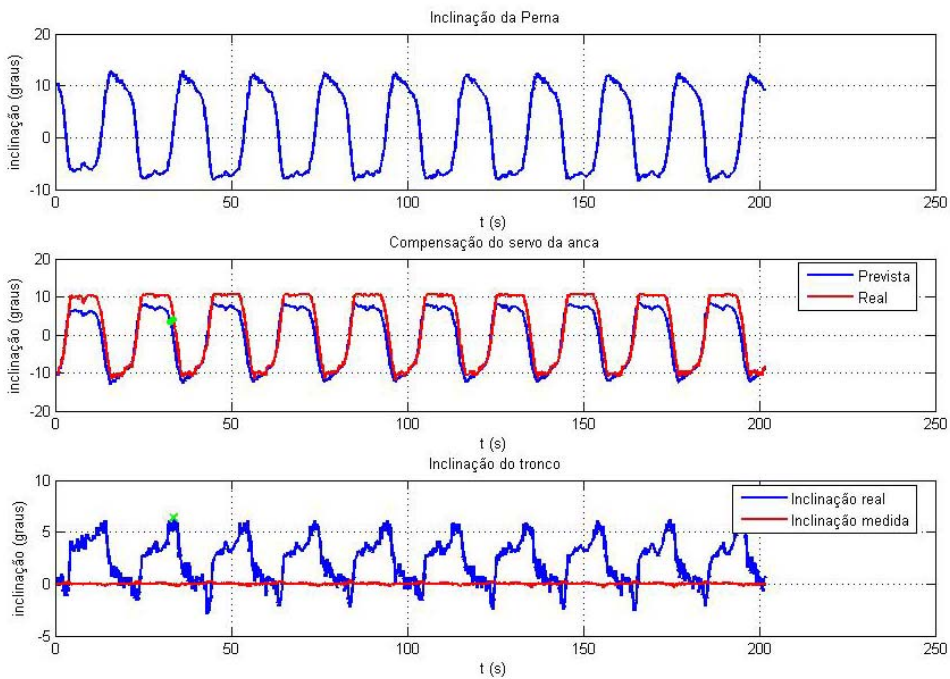


Figura 3-31 - Teste inclinómetros t=5s k=0.3

Máximo tempo de atraso = 0.98s

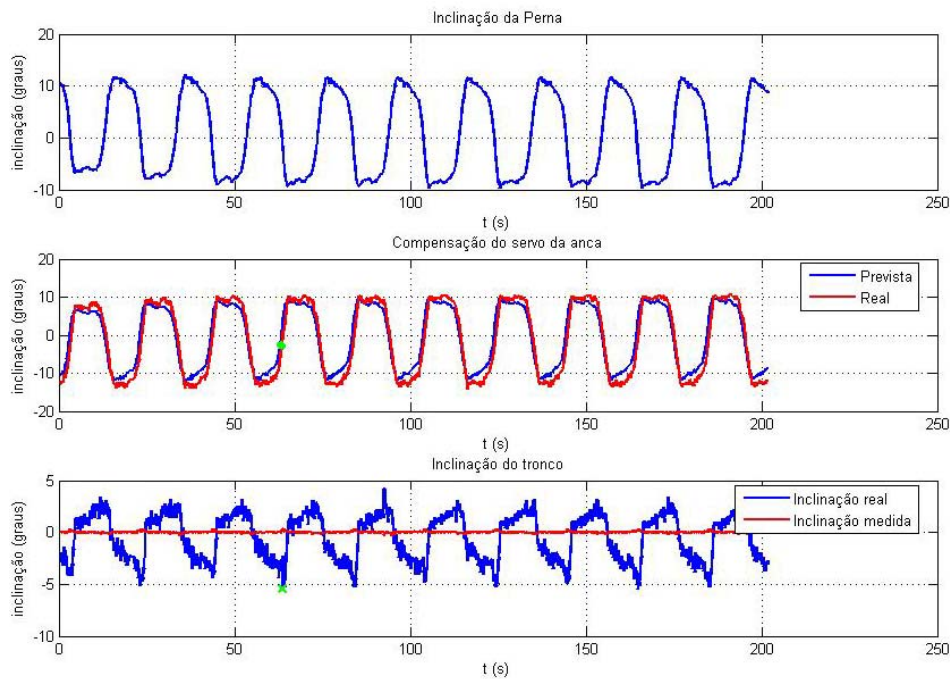


Figura 3-32 - Teste inclinómetros $t=5s$ $k=0.5$

Máximo tempo de atraso = 0.55s

3.2.4 Avaliação de Resultados

O comportamento dos inclinómetros, de um modo geral e tendo em conta a sua utilidade prática, é satisfatório, isto porque, dado que a parte superior da estrutura têm pouca massa relativamente ao resto do corpo, o facto de haver ligeiros atrasos na sua compensação não irá afectar de forma explícita o CoP.

Analisando mais pormenorizadamente os resultados obtidos, verifica-se a presença de um atraso sistemático na resposta do compensador. Este atraso nunca será eliminado apenas poderá ser melhorado, isto dado que o compensador actua em *real-time*, portanto, só se se conseguisse prever o futuro é que se poderia anular o atraso.

Aumentar o ganho do compensador melhora a sua resposta mas o aumento do ganho em excesso também causa invariavelmente oscilações. Foi para evitar esta situação que se limitou logo à partida o ganho do controlador aos valores entre 0.1 e 0.5, isto porque, abaixo do primeiro a compensação é muito lenta, e acima dos 0.5 começa a haver oscilação.

A curva de resposta do controlador, apresentada na **Figura 3-21**, favorece a ocorrência precoce de oscilações, já que essa resposta não apresenta uma banda-morta

em torno do zero. Alterando este facto poder-se-á aumentar o ganho, melhorando ligeiramente a resposta do controlador sem a ocorrência de oscilações mas ainda assim, a melhoria poderá ser pouco significativa e permitirá a existência de um erro em torno de zero, com metade da largura da banda-morta.

Outro dos factores que provoca atraso é o filtro passa baixo (média pesada de duas amostras) aplicado às medidas do inclinómetro. Este filtro é no entanto necessário para eliminar picos causados por ruído.

Uma das preocupações com os inclinómetros revelar-se-á quando estes forem utilizados durante a execução de movimentos mais complexos, onde as acelerações mecânicas do humanóide tenham uma dimensão apreciável pois poderá acontecer nesses casos uma leitura errada da inclinação da anca. Será necessário no futuro precaver este tipo de situações pois poderá ter consequências nefastas uma compensação com base em valores adulterados.

4 Planeamento do movimento: padrões de locomoção

Um movimento de alto-nível é uma actividade coordenada e dividida em diferentes fases que no final perfazem uma acção, tal como um passo ou um pontapé numa bola. Este tipo de algoritmos tem a difícil tarefa de coordenar toda a estrutura de forma que o movimento seja realizado de forma coordenada e garantindo sempre a estabilidade.

Para a compreensão do funcionamento destes movimentos são necessários alguns conhecimentos, tal como o referencial usado para descrever o movimento, os planos corporais e conhecimentos de planeamento de trajectórias. Os planos usados no estudo do corpo humano são o plano sagital, que representa o plano de simetria do ser humano, o plano frontal, que divide o corpo entre frente e costas e o plano transversal que corta a parte de cima da parte de baixo do corpo (**Figura 4-1**). Também ilustrado estão os eixos de referência usados e os sentidos arbitrados como positivos. Nesse referencial o ponto (0,0,0) corresponde à junção da primeira junta do pé direito com a placa do pé. Outra das definições que vai ser falada é o centro de gravidade (CoG) e o centro de pressão (CoP). O primeiro representa o ponto no espaço que reflecte a distribuição das massas na estrutura humanóide. O segundo representa a projecção no solo do centro de gravidade e permite concluir sobre a estabilidade do movimento (numa situação de movimento quasi-estático). Na **Figura 4-2** está representado o CoG de cada um dos componentes do robô humanóide com uma cruz, o círculo representa o CoG de toda a estrutura e a sua projecção no solo.

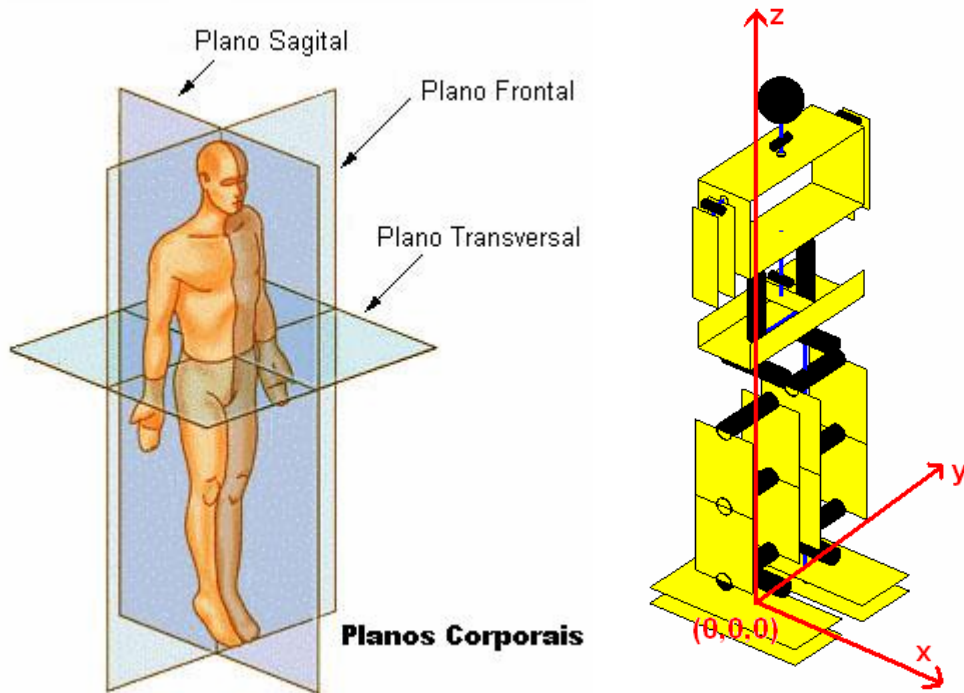


Figura 4-1 - Planos corporais e eixos de referência

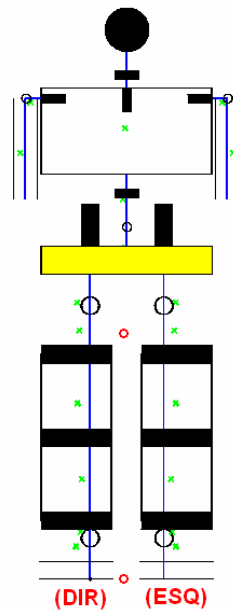


Figura 4-2 - Centro de Gravidade (CoG)

Os movimentos de alto-nível criados para o Robô Humanóide foram desenvolvidos admitindo um movimento quasi-estático, quer isto dizer que o movimento é executado a uma velocidade muito reduzida e, em cada fase do movimento o centro de massa do robô está sobre o pé de suporte (no caso de só um pé

estar no solo), garantindo dessa forma que não haverá queda em qualquer fase do movimento.

4.1 Planeamento de trajectórias

Em estruturas mecânicas constituídas por elos mecânicos interligados por juntas articuladas, pode-se dividir a estrutura pelo número de juntas e representar cada elo resultante por um referencial próprio. O robô humanóide é um desses casos, em que toda a estrutura está dividida em 22 partes unidas por 22 juntas. Como no entanto estes elos estão todos unidos, quando se faz a atribuição de referenciais a cada um tem que se ter em conta a dependência que existe entre esse elo e o anterior, há assim um conjunto de elos unidos em série.

Há portanto, dois espaços de referência possíveis, um é o espaço das juntas e representa a posição angular de cada junta e o outro é o espaço cartesiano.

Para a delineação de trajectórias neste tipo de sistema há dois tipos de planeamentos possíveis, ou no espaço cartesiano ou no espaço das juntas. Há portanto, dois espaços variáveis, relacionáveis entre si.

Pode-se então questionar qual o melhor espaço de referência para planear a trajectória? Na resposta a esta pergunta à que ter em consideração alguns aspectos. A trajectória será sempre executada por juntas, logo, apesar de haver uma relação directa entre espaço das juntas e espaço cartesiano, um movimento definido no espaço cartesiano será descrito por uma aproximação do movimento no espaço das juntas. Por outro lado, há certo tipo de definições que têm de ser, obrigatoriamente, fornecidas no espaço cartesiano, por exemplo, se se pretender subir escadas tem que se definir a altura da escada como sendo a distância que o pé tem de se elevar para fazer o movimento.

A física responde a esta questão com a cinemática, que é uma relação matemática que relaciona um movimento das juntas com o espaço cartesiano e vice-versa. No primeiro a operação de transformação designa-se por cinemática directa e quando a transformação é iniciada no espaço cartesiano e remetida para o espaço das juntas há então uma operação de cinemática inversa.

Apesar de haver uma relação directa entre espaço das juntas e espaço cartesiano, o mesmo não se verifica para o caso oposto, isto é, as operações realizadas no espaço das juntas podem ser mapeadas no espaço cartesiano sem qualquer tipo de ambiguidade,

mas o contrário nem sempre se verifica, **Figura 4-3**. Para atingir o mesmo ponto cartesiano há duas formas distintas tal como representado na figura seguinte.

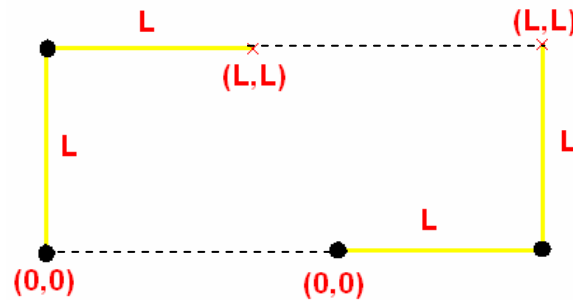


Figura 4-3 – Exemplo da redundância da cinemática inversa

4.1.1 Cinemática directa

O conceito de cinemática directa já foi explicado, resta agora saber como é que esta função funciona. Os elementos necessários para o cálculo da cinemática directa são a posição das juntas e o comprimento dos elos. O fundamento básico para o seu cálculo reside nas conhecidas funções da trigonometria (\sin , \cos), que relacionam um ângulo, o cateto oposto, o cateto adjacente e a hipotenusa. Considerando a nossa hipotenusa o comprimento do elo e associando um referencial à junta de suporte ao elo, podemos reflectir a posição cartesiana do outro extremo do elo no referencial criado. Pensando agora que se tem ligado a esse extremo outra junta com outro elo, pode-se efectuar o mesmo procedimento e saber o ponto do extremo da segunda junta e assim sucessivamente até ao fim da cadeia.

O exemplo apresentado está representado no espaço bidimensional mas o robô humanóide tem liberdade de movimentos no espaço tridimensional o que complica um pouco mais as contas e tem também 22 juntas com pontos de derivação (onde há duas juntas ligadas com direcções diferente). Estes dois novos desafios encontrados podem ser ultrapassados utilizando técnicas matriciais para resolução de cinemática directa. Convém referir, antes de passar à solução, que o problema da derivação pode ser visto como duas séries de juntas distintas que partem do mesmo ponto, dividindo assim o problema em dois.

Qualquer solução apresentada têm de começar por uma junta primária, onde a cadeia começa, e, no caso do humanóide há várias possibilidades, porque se têm vários pontos extremos que tanto pode ser o início como o fim da cadeia (ex.: pé direito ou

esquerdo, ou braço, ou cabeça). A questão que aqui se coloca é qual é que deve ser o ponto de partida? A resposta reside noutra pergunta, quem é que está a suportar a estrutura, ou quem está assente na origem do referencial cartesiano (pressupondo que a origem é o ponto de contacto do humanóide com o solo)? Dado que o humanóide ainda não faz o pino, só há três hipóteses de suporte, ou pé direito, ou pé esquerdo, ou os dois. Quando é um pé ou outro, o problema está resolvido, e quando são os dois? Nesse caso pode-se optar por um qualquer e, garantidamente a solução será a mesma.





Depois de todas as condições iniciais definidas está na altura de apresentar a técnica usada no cálculo da cinemática directa, que é o algoritmo de Denavit-Hartenberg.

Este algoritmo propõe a criação de uma matriz que contempla todas as relações entre as juntas e efectua posteriormente uma multiplicação iterativa desta matriz com uma matriz de transformação. Cada uma das matrizes que resulta de cada iteração pode ser aplicada ao ponto que representa a respectiva junta e o resultado é a posição cartesiana dessa junta. Mas essa matriz não representa apenas a posição cartesiana da junta, ela também fornece a orientação dessa junta, isso quer dizer, que se em vez de um ponto essa matriz for aplicada a uma superfície representativa da junta, o resultado seria a posição e orientação dessa junta.

4.1.2 Cinemática Inversa

A cinemática inversa determina os valores das juntas que se adequam a uma dada configuração no espaço cartesiano. Este é um problema que nem sempre tem uma solução analítica e pode também ter várias soluções, daí ser muito mais complicada a cinemática inversa do que a directa.

Os métodos existentes para calcular a cinemática inversa são:

-  Transformações inversas;
-  Matrizes duais;
-  Métodos iterativos;
-  Abordagens geométricas.

O problema da cinemática inversa agrava-se com o número de juntas, por isso, se se pensar que o robô humanóide tem 22 juntas parece haver aqui um caso complicado. A solução para este problema assenta na divisão de toda a estrutura e na criação de restrições ao cálculo da cinemática inversa. Há assim uma fórmula de cálculo da cinemática inversa para o caso de 2 juntas, que é:

Considerando l_1 e l_2 como os comprimentos dos elos das juntas 1 e 2, respectivamente, e sendo x e y , o ponto cartesiano da extremidade do segundo elo, então,

$$k_1 = 2 \cdot y \cdot l_1$$

$$k_2 = 2 \cdot x \cdot l_1$$

$$k_3 = x^2 + y^2 + l_1^2 - l_2^2$$

$$\theta_1 = a \tan 2(k_1, k_2) + c \cdot a \tan 2\left(\sqrt{k_1^2 + k_2^2 - k_3^2}, k_3\right)$$

$$k_1 = 0$$

$$k_2 = 2 \cdot l_1 \cdot l_2$$

$$k_3 = x^2 + y^2 - l_1^2 - l_2^2$$

$$\theta_2 = a \tan 2(k_1, k_2) - c \cdot a \tan 2\left(\sqrt{k_1^2 + k_2^2 - k_3^2}, k_3\right)$$

A variável c , serve para eliminar a redundância relativa ao “cotovelo” da configuração. Tal como mostrado na **Figura 4-3**, o “cotovelo” entre os dois elos, pode ficar virado para cima ou para baixo, dessa forma a variável c pode tomar valores de -1 ou 1, representando cada um deles uma dessas situações.

Usando esta fórmula de cinemática 2R, pode-se aplicar ao robô humanóide a duas juntas que se pretenda actuar e restringir o movimento de outras juntas associadas de forma a perfazer a acção definida no espaço cartesiano.

4.2 Locomoção bípede

O movimento de marcha está dividido em três fases mais um ponto intermédio. Para este movimento são definidos 4 parâmetros de referência:

- ✚ Sl – Comprimento do passo;
- ✚ Hh – Altura da anca;
- ✚ Yg – Posição lateral do centro da anca;
- ✚ Fc – Máxima elevação do pé.

Obviamente o comprimento do passo define a distância que o pé livre têm de percorrer desde o início até ao fim do passo. A altura da anca reflecte a flexão das pernas durante o movimento, isto é, determina que no início do movimento, com o intuito de baixar o centro de gravidade, a anca deve estar a determinada posição do solo. A posição lateral do centro da anca é definida para se garantir que o centro de gravidade se encontra sobre o pé de suporte, dessa forma e, por razões de simetria sagital da estrutura, o centro da anca deverá estar aproximadamente coincidente com o centro do pé de suporte, qualquer que ele seja. A máxima elevação do pé define o ponto intermédio por onde o pé livre terá de passar. Este ponto é muito importante porque, como as trajectórias são definidas no espaço das juntas, se só fosse enviado para as SCU o valor das posições iniciais e finais do passo, iria ser calculada uma trajectória em que o pé livre avançaria por baixo do solo (na realidade cairia!).

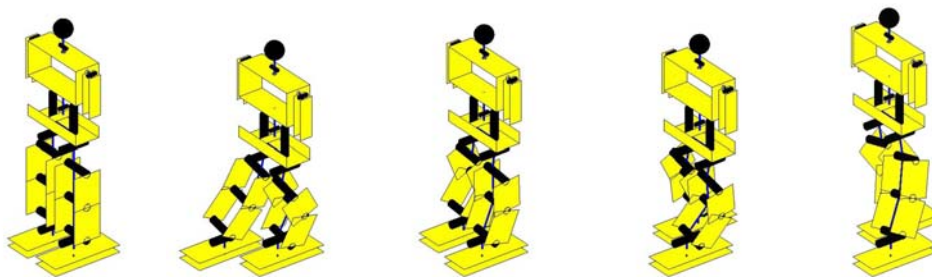


Figura 4-4 - Sequência do movimento de marcha

4.2.1 Fase 1: preparar o movimento

Num primeiro momento o pé livre (assumindo que é o pé esquerdo), recua metade do comprimento do passo e o CoG é colocado sobre a parte de trás pé direito. Nesta mesma fase, o centro da anca é também posicionado, segundo o eixo dos yy, sobre o pé de suporte e, segundo o eixo dos x, recua $\frac{1}{4}$ do comprimento do passo. Este recuo serve para garantir que a anca acompanha o movimento do pé livre durante o seu trajecto.

4.2.2 Fase 2: inicio do passo

Como foi estipulado um ponto intermédio de passagem, nesta fase é enviado para as *slaves* os valores das juntas da posição intermédia calculada. Neste ponto o pé livre executa meio passo para a frente, mas fica parado no ar a uma altura F_c .

Durante esta fase a anca também acompanha o movimento do pé. No final desta fase o centro da anca encontra-se exactamente alinhado segundo o eixo dos xx com o pé de suporte e a posição segundo o eixo dos yy não se altera.

4.2.3 Fase 3: fim do passo

Depois de estar no ponto intermédio o pé livre deve ser enviado para a sua posição final, ou seja terá de percorrer o meio passo que falta. No fim desta fase a anca avançou $\frac{1}{4}$ do passo segundo o eixo dos xx e a posição em yy não se altera.

4.2.4 Fase 4: preparação do próximo passo

Como durante todas estas fases a posição em yy do centro da anca não de alterou é agora necessário passar essa posição para cima do novo pé de suporte. Durante este movimento da anca em yy, há também um movimento desta, correspondente a $\frac{3}{4}$ do passo segundo o eixo dos xx. Este último ajuste garante que no início do próximo passo a anca parte exactamente do mesmo ponto com que partiu para o primeiro passo, mas desta vez com o pé de suporte diferente, isto porque há simetria segundo o plano sagital.

4.2.5 Vários Passos

Como o passo é um movimento que apresenta simetria no plano sagital e frontal, para cada fase do movimento, então, o algoritmo usado, utiliza essa característica para adaptar cada fase do movimento já calculado no primeiro passo, de forma, a aplicar esses valores às juntas correspondentes no outro lado do plano sagital. O algoritmo usado é então o representado na **Figura 4-5**.

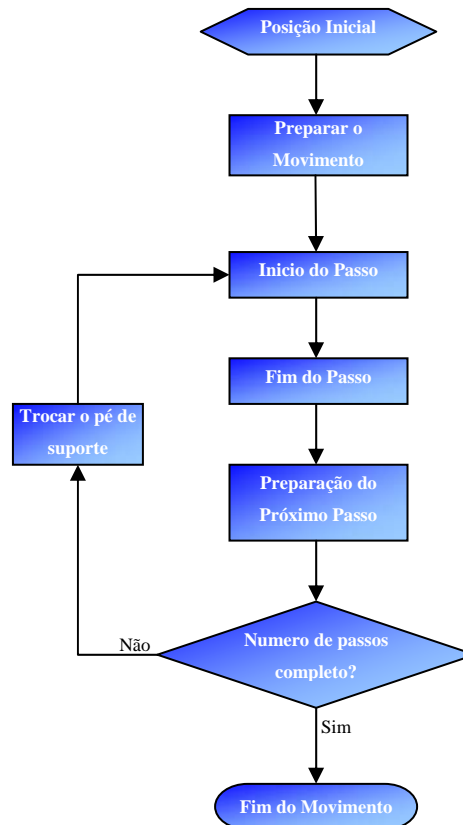


Figura 4-5 - Algoritmo para a realização de vários passos

4.3 Rotação sobre si próprio

O movimento de rotação possibilita ao robô humanóide mudar a sua direcção, por isso é um movimento de enorme importância no desenvolvimento de padrões de locomoção. Este movimento apresenta contudo uma dificuldade intrínseca à própria concepção da estrutura, isto porque, apesar dos 22 graus de liberdade existentes neste robô, não são comparáveis aos graus de liberdade que um ser humano apresenta. Daí que para o ser humano este movimento de rotação seja relativamente simples mas projectá-lo para este humanóide não seja tão trivial assim.

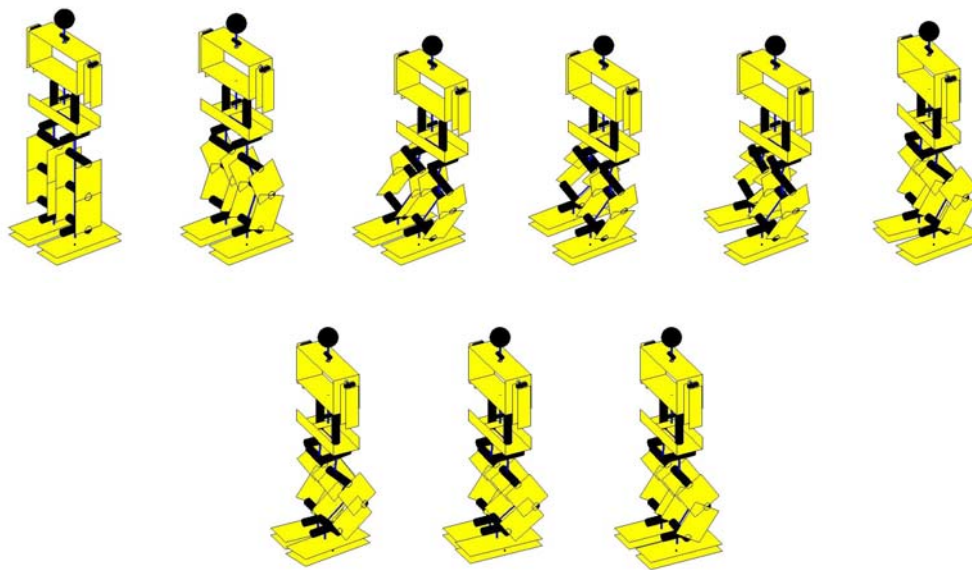






Figura 4-6 - Fases do movimento de rotação

A sequência do movimento de rotação é bastante extensa, como se pode ver pela **Figura 4-6**. Este movimento está dividido em 8 fases. Esta sequência poderá ainda ser encurtada com a junção de alguns movimentos, sem que isso afecte a sua correcta execução.

Há vários parâmetros que definem este movimento, são eles:

-  ang_iR – Inclinação das pernas que garante um CoG assente no pé de suporte;
-  ang_r – Ângulo de rotação que se pretende;
-  Hh – Altura da anca inicial desejada;
-  Fc – Altura do pé durante o movimento de rotação.

O cálculo das fases é executado no espaço cartesiano e no espaço das juntas. Este movimento pode ser explicado em quatro fases, estando as várias fases reais

encapsuladas em cada uma destas quatro. A primeira pode ser designada por fase de preparação, é quando o humanóide usa os parâmetros Hh e ang_iR para flectir as pernas e incliná-las de forma a alinhar o CoG com o pé de suporte. A segunda fase envolve os passos de levantar, rodar e pousar e representa o movimento de rotação do pé livre. Como terceira fase está o movimento complicado de passar o CoG para o novo pé de suporte. Esta fase representa um único movimento bastante complexo, que consiste num sincronismo de juntas preciso, calculado através de cinemática inversa aplicada a ambas as pernas. Como última fase designa-se o movimento de levantar o novo pé livre, rodá-lo e voltar a pousá-lo no solo.

4.3.1 Fase 1: preparar o movimento

Nesta fase ideológica estão representadas 2 fases reais do movimento no robô humanóide. Portanto, há um primeiro momento em que as pernas flectem ficando a altura da anca a Hh metros do solo, **Figura 4-7**. O valor de Hh é definido a partir da percentagem da altura máxima da anca. Dessa forma, e apesar deste valor poder ser alterado, ele está definido como sendo 95% da altura máxima da anca.

Num segundo momento há uma inclinação lateral de ang_iR das pernas com o intuito de colocar o centro de pressão sobre o pé de suporte.

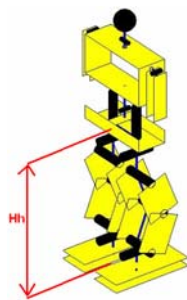


Figura 4-7 – Fase 1

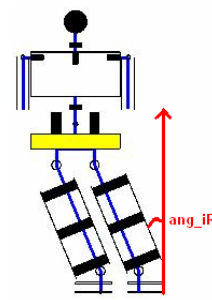


Figura 4-8 – Fase 2

4.3.2 Fase 2: levantar, rodar e pousar

Esta fase representa 3 fases na prática e representa a rotação do pé livre, tal como representado na **Figura 4-10**. O pé livre efectua o movimento de rotação a uma altura predefinida de Fc .

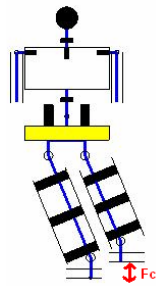


Figura 4-9 – Fase 3

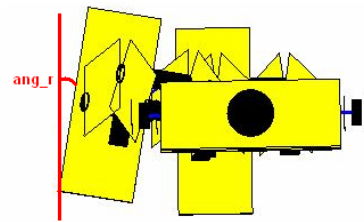


Figura 4-10 – Fase 5

4.3.3 Fase 3: transferir CoG para o novo pé de suporte

Este é o ponto mais delicado deste algoritmo. Como se vê pela **Figura 4-11**, para o pé rodar, têm que se rodar toda a perna segundo uma circunferência. O eixo dessa circunferência provém da junta que efectua o movimento de rotação. O problema deve-se ao desalinhamento que vai ocorrer nos pés, segundo o plano frontal quando o pé livre roda. Como se pode observar pela **Figura 4-13**, há um desalinhamento entre as juntas responsáveis por mover a anca no plano frontal.

Para passar o CoG para o novo pé de suporte vai ter que haver um movimento de rotação da anca, articulado de forma perfeita entre as duas pernas.

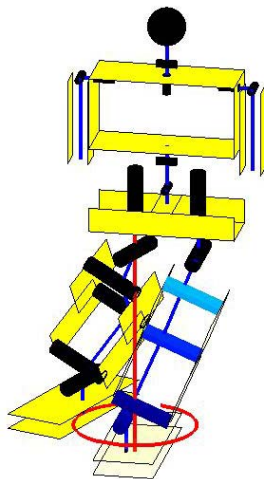


Figura 4-11 – Problema da rotação

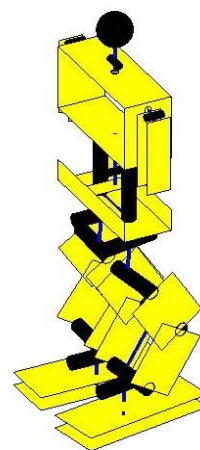


Figura 4-12 – Fase 6

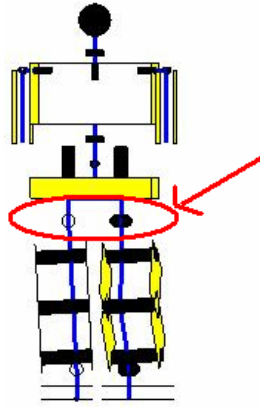


Figura 4-13 - Desalinhamento das juntas que controlam o movimento lateral da anca

4.3.4 Fase 4: acabar movimento

A finalização do movimento corresponde às fases em que o novo pé livre, se eleva, roda e pousa no solo, alinhado segundo o eixo dos yy , com o pé de suporte.

4.4 Pontapé

Este é dos três, o movimento mais simples que está implementado. A sua utilidade prática incide basicamente sobre as competições de robôs humanóides que existem, em que um dos testes é o remate de uma bola.

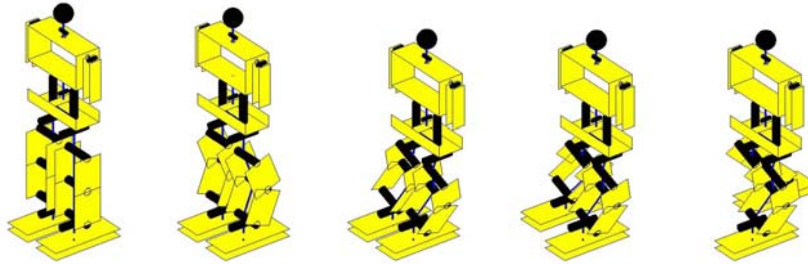





Figura 4-14 - Sequência do movimento Pontapé

Os parâmetros que definem este movimento são os seguintes:

-  ang_iR – Inclinação das pernas que garante um CoG assente no pé de suporte;
-  Hh – Altura da anca inicial desejada;
-  Fc – Altura do pé livre aquando do remate.

Este movimento tem as mesmas características iniciais do movimento de rotação, ou seja há uma fase de preparação onde as pernas são flectidas e o CoG é transferido para o pé de suporte. Depois há uma fase de elevação do pé livre a uma altura Fc e seguidamente, o pé livre avança para frente no sentido de perfazer um remate. A altura Fc é também o ponto segundo o eixo dos zz em que o pé vai embater com a bola, por isso, ao contrário do que se passa com o movimento de rotação esta altura têm que ser especificada tendo em vista o ponto de impacto do remate.

O avanço final do pé livre é executado unicamente pela junta do joelho. Este movimento consiste em inverter o ângulo que a junta tinha com a vertical, **Figura 4-15** e **Figura 4-16**.

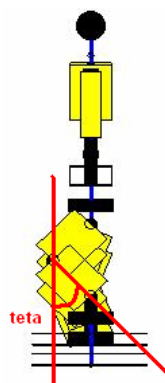


Figura 4-15 – Fase 3

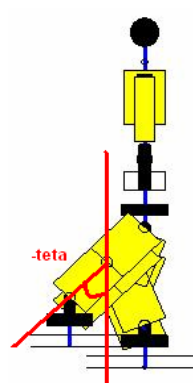


Figura 4-16 – Fase 4

5 Simulador TwoLegs_22dof

O protocolo de comunicações entre o PC e o robô foi desenvolvido em Matlab. Dessa forma existe todo um conjunto de comandos que permite a interacção com o robô. Devido à necessidade constante de enviar cadeias de comandos de actuação e leitura, semelhantes entre si mas com parâmetros diferentes, tornava-se necessário construir uma plataforma superior que operasse esses comandos de uma forma autónoma e transparente para o utilizador. Para satisfazer essa necessidade havia duas formas:

- ✚ Criar funções Matlab que agregassem todas essas cadeias de comandos;
- ✚ Criar uma aplicação gráfica em que cada cadeia de comandos fosse representada por um objecto.

A primeira opção tem a desvantagem de ter de se criar funções suficientes para albergar o leque de possibilidades existentes na combinação dos comandos e o facto do utilizador ter de saber a finalidade de cada uma dessas funções. A segunda opção apresenta-se como a melhor para a finalidade requerida, mas tem a desvantagem de se depender muito tempo com pormenores visuais ao invés de criar mais funções e mais robustas.

Foi nesse sentido que surgiu a ideia de criar um Graphical User Interface (GUI) que agregasse num único pacote grande parte do trabalho que já tinha sido desenvolvido anteriormente, entre os quais a comunicação com o robô humanóide, os algoritmos de movimentos de alto nível, locomoção e rotação e que mostrasse uma imagem virtual do que se estivesse a fazer.

5.1 GUI em Matlab

O Matlab fornece uma ferramenta para desenvolvimento de Graphical User Interface (GUI), que se chama GUIDE.

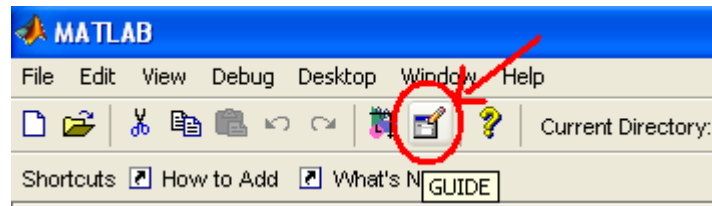


Figura 5-1 - GUIDE

As razões para a escolha desta ferramenta de desenvolvimento recaem sobre os seguintes pressupostos:

- ✚ O protocolo de comunicações RS-232 estava desenvolvido em Matlab;
- ✚ Muito do trabalho desenvolvido para este projecto estava em Matlab, entre os quais os algoritmos de movimentos, as definições e animações virtuais do Humanóide, entre outros;
- ✚ Não havia necessidade de aprender linguagens de alto-nível vocacionadas para o desenvolvimento visual, como C#, Visual Basic, Java, etc.

5.1.1 Ambiente de desenvolvimento

O aspecto visual da ferramenta GUIDE está representado na seguinte ilustração:

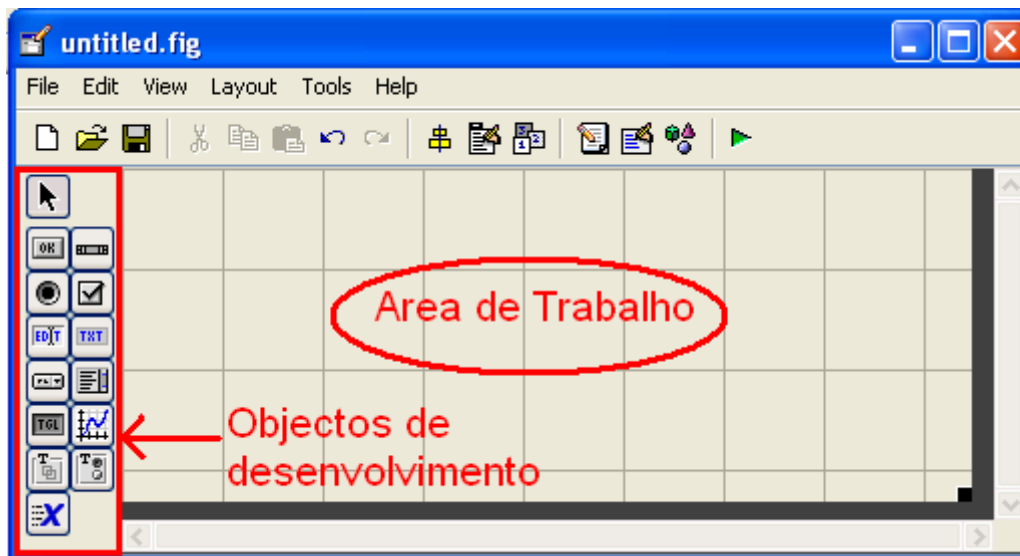


Figura 5-2 - Workspace GUIDE

Uma das desvantagens desta ferramenta consiste no pequeno leque de objectos de desenvolvimento mas é também este um dos factores que torna o desenvolvimento da aplicação gráfica fácil porque não há muito por onde escolher. Além dos objectos de

desenvolvimento presentes na **Figura 5-2**, é também possível desenvolver uma barra de menu, ou menus de contexto, **Figura 5-3**. Os menus de contexto são acedidos através do *click* com o botão direito do rato e os seus dados e estrutura são dependentes da posição do rato nesse momento, daí o nome “menu de contexto” porque depende da situação em que é chamado.

Cada um dos objectos de desenvolvimento tem um conjunto de especificações que tem de ser definidas para a sua correcta utilização. Devido à extensão destas especificações não é exequível inserir neste relatório todas as suas definições mas remeto qualquer questão relacionada com alguma dessas especificações para a ajuda do Matlab que durante o desenvolvimento de aplicação se revelou imprescindível e muito bem organizada. É também de referir que o Matlab disponibiliza vídeos tutoriais para a inicialização no desenvolvimento de GUIs.

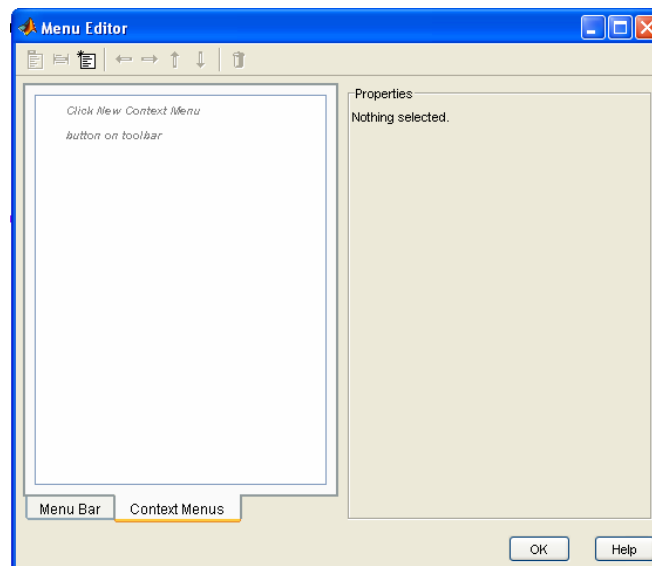


Figura 5-3 - Criação de Menus

5.1.2 Estrutura do Script

O ambiente de desenvolvimento GUIDE permite modelar o aspecto visual da aplicação, mas não permite associar tarefas a objectos. Para isso, juntamente com o ficheiro visual está um *script* que alberga todas as funções relativas aos objectos da aplicação. Cada tipo de objecto tem um conjunto de chamadas ao sistema diferentes, isto é, a função que é despoletada por uma acção. Por exemplo, clicar com o botão esquerdo do rato ou com o botão direito, são acções diferentes que podem encetar uma

função diferente. Resumindo, há um *script* Matlab que alberga todas as funções desencadeadas por uma qualquer acção executada sobre o GUI.


A estrutura do *script*, inicia-se com código associado à iniciação e encerramento do GUI. Estas funções iniciais não devem ser alteradas, pois definem parâmetros essenciais para a execução do GUI. As funções que devem ser alteradas são os *callbacks* (chamadas ao sistema) que cada acção no GUI desencadeia. Para isso, com o GUIDE aberto clica-se com o botão direito do rato sobre um objecto e é mostrado um conjunto de *callbacks* relativos a esse objecto. Ao escolher um desses *callbacks* vai acontecer um de dois cenários, se o *callback* já estiver presente no *script* então é mostrado esse trecho de código já definido, se o *callback* não estiver definido então aparece no *script* o cabeçalho da função pronto a ser definido.


Sempre que se cria uma nova função de *callback* esta tem presente nos seus parâmetros de entrada uma estrutura designada por *handles* e que contém o identificador de todos os objectos presentes no GUI. Através deste identificador e dos comandos *get* e *set*, pode-se aceder ou re-definir, respectivamente, parâmetros desse objecto.

 `get(h,'PropertyName')`

 `set(h,'PropertyName',PropertyValue,...)`

O *handles* é uma estrutura associada a uma figura, neste caso, essa figura é onde se apresenta o GUI. Há um conjunto de comandos que permitem aceder e trabalhar com esta estrutura, são eles:

 `guidata` – permite guardar ou ler dados associados a uma figura

 `getappdata` – obtêm todos os dados ligados a uma figura

 `setappdata` – guarda os dados associados a uma figura

O comando *guidata* usa internamente os outros comandos mencionados, mas enquanto os outros dois comandos são usáveis com qualquer tipo de figura, o comando *guidata* é específico de GUI e é um comando universal pois permite tanto a leitura da estrutura como a sua salvaguarda na figura.

Está assim descrito o comando mais importante quando se cria o *script* referente ao GUI, porque este comando quando esquecido ou mal usado pode originar muitos problemas difíceis de detectar. Um desses casos é quando se têm uma série de funções a

serem executadas em paralelo e todas a usar a estrutura universal em que só a última a fazer a salvaguarda da estrutura na figura é que vai ser bem sucedida. Todas as outras funções, apesar de terem feito a salvaguarda, vão ver os seus dados reescritos pela última função a executar a salvaguarda (*guidata*).

5.2 Definições estruturais

As definições adoptadas para a construção do modelo matemático e visual do Humanóide foram retiradas de medições reais e/ou de medições efectuadas no modelo CATIA do robô Humanóide. Os dados a seguir apresentados representam a informação usada para a modelação matemática do robô humanóide usada no simulador. Estes dados não inviabilizam que no futuro se tenha que proceder a novas medidas ou ajustes aos valores usados.

5.2.1 Dimensões dos elos

Elo	Comprimento (m)
Pé – tornozelo	0.0470
Tornozelo – tornozelo	0.0200
Tornozelo – joelho	0.0950
Joelho – anca	0.0950
Anca – anca	0.0555
Anca – anca	0.0360
Secção da anca (z)	0.0325
Secção da anca (y)	0.0840
Anca – tronco	0.0215

Elo	Comprimento (m)
Tronco – tronco	0.0380
Tronco – tronco	0.0230
Secção do tronco (z)	0.0860
Secção do tronco (y)	0.0120
Tronco – pescoço	0.0147
Pescoço – cabeça	0.0270
Tronco – ombro	0.0180
Ombro – pulso	0.1151

Tabela 5-1 - Dimensões dos Elos

5.2.2 Massa dos componentes do robô Humanóide

Componente	Massa (kg)
Pé	0.524
Tornozelo	0.165
Perna	0.410
Coxa	0.371
Anca baixa	0.239
Anca cima	0.274

Componente	Massa (kg)
Secção da anca	1.212
Cintura	0.246
Secção do tronco	0.457
Pescoço/Cabeça	0.067
Ombro	0.071
Braço	0.064

Tabela 5-2 - Massa dos Componentes

5.2.3 Centros de Massa

Os centros de massa foram medidos recorrendo à ferramenta de modelação CATIA. Para isso, criou-se um referencial no canto superior direito do pé direito, com o eixo dos xx perpendicular ao plano sagital, o eixo dos yy perpendicular ao plano lateral e o eixo dos zz perpendicular ao plano transversal.

Como a estrutura apresenta simetria em relação ao plano sagital, criando um referencial simétrico no pé esquerdo obtém-se para o lado esquerdo da estrutura os mesmos valores para o centro de massa dos componentes do lado esquerdo. Por essa razão só são apresentados na tabela os centros de massa relativos ao referencial do pé direito.

Componente	Centro de Massa (mm)		
	xx	yy	zz
Pé direito	40	142	17
Tornozelo direito	45	107	34,2
Perna direita	46,3	102	94,5
Coxa direita	41	103,3	180,7
Anca direita 1	42,8	103,7	264,3
Anca direita 2	40,5	115,5	295,8
Ombro direito	-12,24	109,47	524,2
Braço direito	-24,18	101,12	467
Barra anca	95,9	118,4	358,9
Cintura	93,9	114	413,4
Tronco	95,3	111,8	494,8
Pescoço	95,3	121,3	554,6

Tabela 5-3 - Centros de Massa dos Componentes

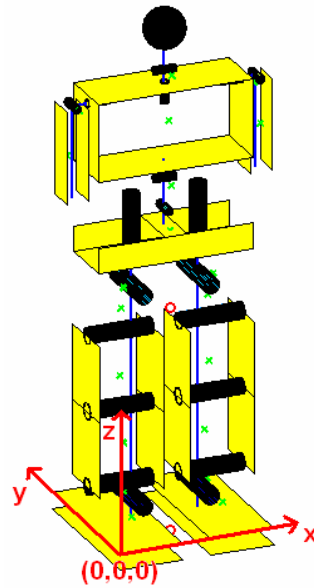


Figura 5-4 - Centros de Massa com o referencial utilizado

5.2.4 Relação de transmissão

A relação de transmissão existente entre os servos e as juntas apresentam valores de 1, 2.5 ou 3.75, esses valores estão representados na Tabela 5-4. A numeração das juntas está representada na **Figura 5-5**.

Junta	Relação de Transmissão
Junta 1	2.5
Junta 2	2.5
Junta 3	2.5
Junta 4	2.5
Junta 5	3.75
Junta 6	1
Junta 7	1
Junta 8	3.75
Junta 9	2.5
Junta 10	2.5

Junta	Relação de Transmissão
Junta 11	2.5
Junta 12	2.5
Junta 13	1
Junta 14	1
Junta 15	1
Junta 16	1
Junta 17	1
Junta 18	1
Junta 19	1
Junta 20	1

Tabela 5-4 - Relação de transmissão das juntas

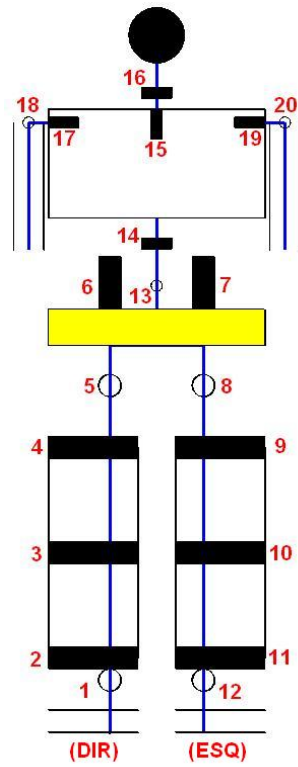


Figura 5-5 - Número de cada junta no simulador

5.3 TwoLegs_22dof

Nesta secção pretende-se analisar e explicar a organização do GUI. Primeiramente são analisados os componentes que compõem a aplicação, depois é abordada a forma como o código está organizado e só no fim se fará uma pequena descrição dos ficheiros utilizados por toda a aplicação.

Não se pretende explorar detalhes de código mas sim dar uma panorâmica geral de como tudo encaixa e funciona.

5.3.1 Componentes

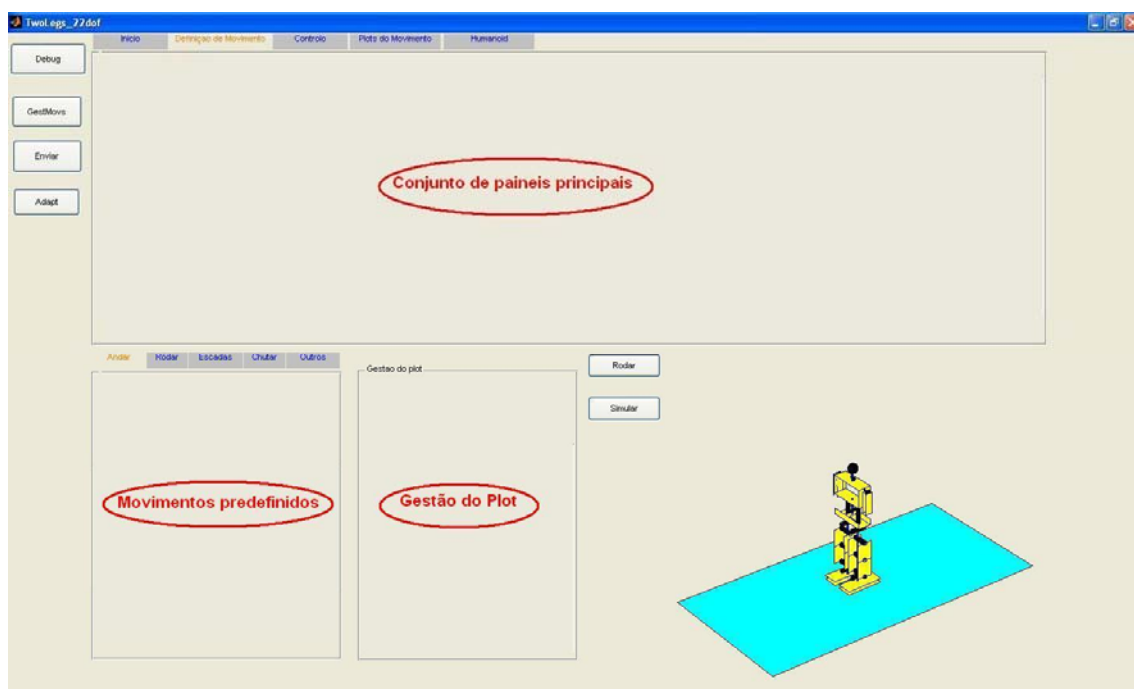






Figura 5-6 - Divisão do GUI






O GUI TwoLegs_22dof está dividido em três áreas:

-  Conjunto paineis de principais
-  Movimentos Predefinidos
-  Gestão do Plot
-  Botões vários

Cada uma destas áreas está subdividida em partições mais pequenas que serão analisadas nas secções seguintes.

5.3.1.1 Conjunto de painéis principais

Nesta área do GUI estão incluídas as funcionalidades de actuação directa com o Humanóide, daqui podem distinguir-se os painéis:

-  Início
-  Definição do Movimento
-  Controlo
-  Plots do Movimento
-  Humanóide

Início



Figura 5-7 - Aspecto visual do painel início

Este painel ainda não está completamente desenvolvido. A ideia presente é que nele sejam incluídas as definições de funcionamento da aplicação, como o modo de funcionamento, as definições de comunicações, gestão de movimentos guardados e outras funcionalidades que de alguma forma interfiram com o funcionamento global da aplicação. Até este momento só as definições de comunicação estão definidas e operacionais, tudo o resto terá que ser projectado visualmente e definido funcionalmente.

Ao nível das comunicações, pode-se definir a porta série que está ligada ao *master* e o baudrate usado, que corresponde a 115200bps. Quando se pressiona o “Ligar” é efectuada a ligação ao master, activados os PWM, e feita uma leitura sensorial inicial para actualização da base de dados interna da aplicação. Se todas as operações anteriores forem bem sucedidas então o botão “Ligar” altera a sua *string* para “Desligar”.

↳ Definição de Movimento

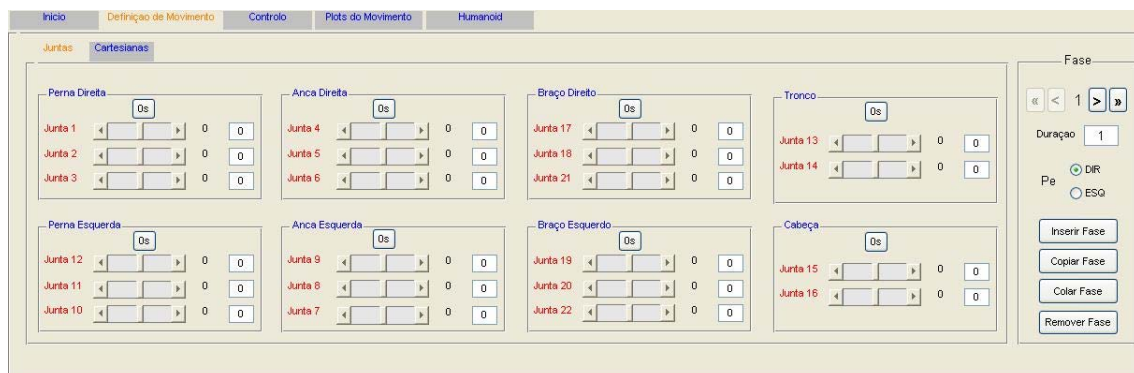


Figura 5-8 - Aspecto visual do painel Definição de Movimentos

Este painel permite ao utilizador efectuar um movimento do humanóide. Essa definição de movimento, tal como está actualmente a aplicação só permite que seja executado no espaço das juntas, apesar do painel que permitirá definir o movimento no espaço cartesiano já esteja integrado nesta secção.

Na **Figura 5-8** pode-se observar que os 22 DoF (graus de liberdade) estão agrupados em 8 compartimentos, isto é uma referência directa à arquitectura estrutural do sistema que tem 8 SCU, em que cada uma delas controla 2 a 3 servomotores. A numeração das juntas corresponde ao descrito na **Figura 5-5**. Cada *slide* permite variar a junta entre -90 e 90 graus, o valor da junta é mostrado na *text_box* que segue o *slide*. Há outro elemento presente no compartimento associado a cada junta, é uma *dialog_box* que serve para ligar o movimento de uma junta a outra, isto é, se aplicar uma posição a uma junta, essa posição é automaticamente aplicada à junta associada. Esta associação pode ser feita ao inserir na *dialog_box* da junta dependente o valor da junta tutora, por exemplo, se colocar na *dialog_box* da junta 10 o valor 1, quer dizer que sempre que a junta 1 se mover a junta 10 também se moverá para a mesma posição mas o contrário já

não se verifica. Outra das particularidades desta função é a possibilidade de uma junta realizar o movimento simétrico ao da junta tutora, para isso basta incluir um sinal “-“ antes do valor da junta tutora.

Pode também observar-se a existência de um painel com a designação de “Fase”. Quando se define um movimento articulado, ele está dividido em fases, em que cada uma delas descreve a sua duração e o pé de suporte, é para isso que este painel existe. Sempre que se adiciona uma nova fase ou um novo movimento predefinido, o painel da fase é actualizado.

Um pormenor usado na estruturação deste painel é a existência de menus de contexto, **Figura 5-9**, que permitem efectuar um conjunto de operações básicas, tais como:

- ✚ Copiar/colar – permite copiar o conjunto de valores das 3 juntas;
- ✚ Inserir – serve para colocar na fase actual as posições das 3 juntas que se pertencem a outra fase anterior ou posterior;
- ✚ Inverter – realiza a inversão dos valores presentes nas 3 juntas;
- ✚ Espelho vertical – troca os valores das juntas, isto é o valor da primeira passa para a terceira e vice-versa.

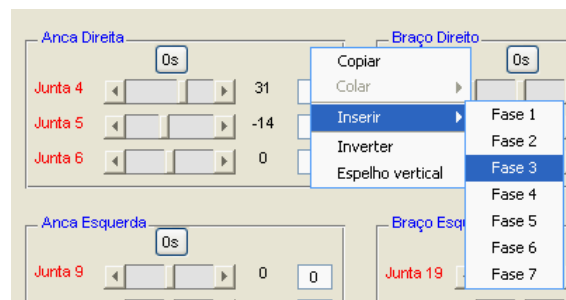


Figura 5-9 - Menu de contexto para as juntas

↳ *Controlo*

Esta secção da aplicação não está desenvolvida, nem visualmente, nem funcionalmente. O que se pretende que venha a ser inserido neste painel é um conjunto de ferramentas que possibilite a actualização dinâmica dos parâmetros do controlador PID. A forma como esses parâmetros serão calculados não está de todo pensada, devido à dificuldade que o problema envolve. Mas enquanto não se consegue uma solução para

esse problema pode simplesmente colocar neste painel uma ferramenta que possibilite o envio manual dos parâmetros PID para cada um dos servos em cada fase do movimento.

↳ *Plots do Movimento*

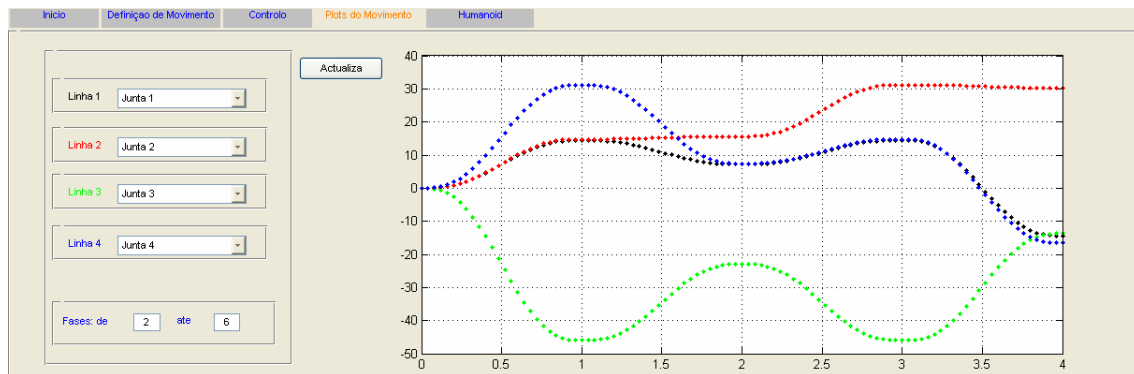


Figura 5-10 - Aspecto visual do painel Plots do Movimentos

Na definição do movimento o que a aplicação faz é a descrição das posições das juntas em determinado instante, todo o cálculo da trajectória que as juntas vão percorrer para atingir essas posições é efectuada nas SCU, quando essas posições forem enviadas. Nesta secção da aplicação será possível observar a trajectória que a *slave* vai calcular para a execução do movimento. Neste painel podem-se definir até quatro juntas para se visualizar o seu percurso e define-se também o intervalo em que se pretende observar essa trajectória.

Uma das possíveis melhorias que poderá ser efectuada no futuro é incluir também a visualização da trajectória no espaço cartesiano, assim como a variação do centro de gravidade ao longo do movimento.

↳ *Humanóide*



Figura 5-11 - Aspecto visual do painel Humanóide

O painel humanóide é onde são exibidas todas as leituras feitas do robô. Actualmente só são actualizadas as leituras de posição dos servomotores mas no futuro além destes valores também poderá ser incluído nesta secção as leituras de outros parâmetros dos servos, tais como a velocidade e a corrente, assim como as leituras dos sensores especiais, sensores de força e inclinómetros.

5.3.1.2 Movimentos Predefinidos

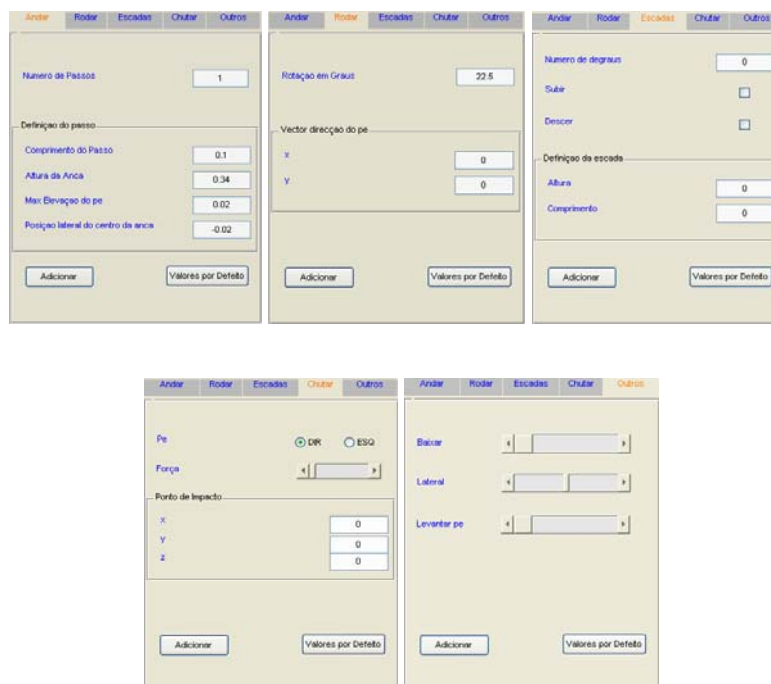


Figura 5-12 – Conjunto de painéis de Movimentos Predefinidos: Andar, Rodar, Subir Escadas, Chutar e Outros

Na área dos movimentos predefinidos estão definidos os movimentos de locomoção, rotação e pontapé na bola, assim como movimentos mais básicos com baixar a anca ou inclinar as pernas, definidos no painel “Outros”. Cada um destes movimentos tem as suas especificidades próprias, daí que todos estes painéis apresentem campos diferentes.

Além dos movimentos já definidos, também está colocado um painel para o movimento de subir escadas mas este algoritmo ainda não está desenvolvido.

O painel com a designação de “Outros” ainda não está completo, espera-se que sejam criados vários pequenos movimentos, há semelhança dos movimentos já definidos.

5.3.1.3 Gestão do Plot





Figura 5-13 - Gestão do Plot

Nesta secção do GUI pode-se ajustar as definições da visualização do humanóide. É nesta zona que se define o que é que se pretende ver, designadamente o tapete, a bola, as escadas e o centro de massa do humanóide. Além de se definir o que se pretende ver na simulação também se pode definir a posição e algumas especificações de cada um destes componentes, para isso existem sub-paineis para cada um destes objectos. Essas definições são basicamente a posição e as dimensões de cada um desses componentes.

Este painel tem também associado um menu de contexto que permite alterar a perspectiva de visualização do robô humanóide virtual. A localização deste menu nesta secção e não no próprio *axis* de simulação deveu-se a problemas de realização do mesmo

5.3.2 Estruturas de suporte ao GUI

Para a organização dos dados necessários para o funcionamento da aplicação criaram-se 7 estruturas afectas a diferentes áreas do GUI. Cada uma dessas estruturas tem uma ligação directa aos diferentes painéis existentes na aplicação. Essas estruturas são:

-  DM – Definição do Movimento;
-  ME – Movimentos especiais;

- ✚ PM – Plot dos Movimentos;
- ✚ Ctrl – Controlo;
- ✚ Painéis;
- ✚ GP – Gestão do Plot;
- ✚ JI – Janela Inicial.

Estas estruturas estão definidas e guardadas no interior da estrutura da aplicação *handles*. À excepção da estrutura de controlo que não está desenvolvida todas as outras têm funções e aplicação real no GUI, por isso, serão definidas com mais detalhe.

5.3.2.1 DM - Definição de Movimento

Nesta estrutura estão definidos os parâmetros associados ao movimento, tais como posição das juntas e dimensões dos elos. Os campos envolvidos nesta estrutura são:

- ✚ O – Matriz com as distâncias e tamanhos das chapas que compõem o robô virtual;
- ✚ L – Array com os comprimentos de cada um dos elos do robô humanóide;
- ✚ M – Array com as massas dos componentes do humanóide;
- ✚ q – Matriz com as posições das 22 juntas nas fases do movimento;
- ✚ XYZRef – Matriz com a posição do pé de suporte nas fases do movimento;
- ✚ fase – Valor da fase actualmente em apresentação;
- ✚ duracao – Array com a duração de cada fase do movimento
- ✚ tetaPe – Array com a obliquidade do pé de suporte em relação ao eixo dos xx, em cada fase;
- ✚ dependencia – Matriz de [22x22] que indica que juntas é que dependem de determinada junta.

Nos campos envolvidos na estrutura *DM* além das definições de comprimentos e massas, têm-se alguns campos que necessitam de uma explicação mais profunda.

O campo *q* é uma matriz cujo número de linhas é igual ao número de fases total do movimento e o número de colunas corresponde ao número de juntas existentes.

Assim, fazendo o cruzamento da fase, com o número da junta e obtêm-se a posição da junta pretendida na fase em análise.




O campo *XYZRef*, da mesma forma que o campo anterior disponibiliza nas linhas a fase e nas colunas as coordenadas cartesianas (xyz), que indicam a posição do pé de suporte em cada fase.

O campo *tetaPe*, possibilita que o humanóide possa rodar livremente no espaço virtual, isto porque é este campo que define a orientação do pé de suporte em cada uma das fases.

A matriz de dependências existe com 22 linhas por 22 colunas para facilitar as funções que a chamam. Nesta matriz, cada linha corresponde à junta tutora e cada coluna a junta dependente, a intersecção entre estes dois eixos pode estar a -1, 0 ou 1. Quando o valor é negativo quer dizer que a dependência é invertida, isto é, se a junta tutora vai para a posição +20°, então a junta dependente irá para a posição -20, quando o valor é zero é porque não há dependência e quando é 1 a dependência é directa.

5.3.2.2 ME – Movimentos especiais




A estrutura “Movimentos Especiais” contém as definições de cada um dos movimentos predefinidos, tais como a locomoção e rotação. Esta estrutura subdivide-se em sub-estruturas, que são:

-  andar;
-  rodar;
-  chutar;

Cada uma destas sub-estruturas contém os parâmetros que são passados nos painéis dos Movimentos Predefinidos.

5.3.2.3 Plot dos Movimentos

Esta estrutura contém informação para a gestão do painel com o mesmo nome. Assim tem-se nesta estrutura os campos:

-  fase – array de dois valores que define a fase inicial e final para mostragem;
-  L1 – Valor da junta referenciada pela linha 1;
-  L2 – Valor da junta referenciada pela linha 2;

- ✚ L3 – Valor da junta referenciada pela linha 3;
- ✚ L4 – Valor da junta referenciada pela linha 4;

5.3.2.4 Paineis

Esta estrutura foi criada para compensar a falta de elementos *TabFolders* de criação gráfica no GUI no Matlab. Estes elementos possibilitam a troca do painel que está a ser apresentado ao utilizador, através de etiquetas. Como há muita informação que pode ser mostrada ao utilizador este tipo de elementos revela-se praticamente essencial, por isso, a forma de contornar o problema foi criar *TextBox*, que são as etiquetas e associar a cada uma delas um painel. Esta estrutura faz isso mesmo, contém a ligação entre *TextBox* e painel.

Os campos inseridos nesta estrutura correspondem as secções do GUI que necessitam de *TabFolder* e são os seguintes:

- ✚ principal – corresponde ao conjunto de painéis principais;
- ✚ DM – faz a divisão entre juntas e cartesianas no painel Definição de Movimentos;
- ✚ ME – corresponde ao conjunto de painéis dos Movimentos Predefinidos
- ✚ GP – corresponde ao conjunto de painéis da Gestão do Plot

5.3.2.5 Gestão do Plot

Esta estrutura serve de suporte a toda a informação que se encontra no plot do robô humanóide virtual. São aqui definidas todas as posições cartesianas e dimensões de todos os componentes do plot, bem como todas as etiquetas que referenciam esses mesmos componentes. Para isso esta estrutura está dividida nos seguintes campos:

- ✚ def – estrutura com as posições cartesianas e dimensões de todos os componentes do robô humanóide;

- ✚ tapete – definição do comprimento e posição do tapete onde está o robô humanóide;
- ✚ escadas – definição do número de escadas, do comprimento e altura dos degraus e da posição em que se encontram;
- ✚ bola – definição das dimensões e posição da bola;
- ✚ COG_0 – definição do centro de gravidade de todos os componentes do robô quando este está completamente na vertical;
- ✚ obj – etiquetas para cada um dos objectos presentes no plot.

5.3.2.6 Janela Inicial

Esta estrutura ainda não está completamente definida porque ela corresponde ao painel designado por “início”, que também ainda não está desenvolvido. Aqui devem ser colocados todos os campos relativos aos modos de funcionamento da aplicação. A estrutura define actualmente a comunicação RS-232 e também a variável que contém todos os dados de actuação relativos ao robô real.

5.3.2.7 Botões vários

A aplicação dispõe de um conjunto de botões “perdidos” que se encontram no seio da aplicação. A utilidade destes botões não é definitiva e a sua disposição na aplicação é para ser alterada numa versão futura.

Primeiramente, no canto superior esquerdo podem-se enumerar 3 botões tal como observado na **Figura 5-6**:

- ✚ Debug – permite o acesso à linha de comandos e à variável handles;
- ✚ GestMovs – chama o GUI de gestão de ficheiros com movimentos;
- ✚ Enviar – permite enviar para o MCU a posição actualmente simulada;
- ✚ Adapt – permite definir a zero a actual posição real do robô humanóide

A natureza completamente distinta das funções destes botões perfaz a ideia de que a disposição destes elementos na aplicação não é a mais adequada.

A outra secção de botões está associada ao *axis* principal (onde é simulado o humanóide), neste ponto encontram-se dois botões:

- 🚦 Rodar – Permite alterar a perspectiva da visualização;
- 🚦 Simular – Executa um movimento planeado de todas as fases desenvolvidas.

Este último grupo de botões deveria estar representado numa barra de ferramentas sobre o *axis* de simulação. Juntamente com eles deveriam também ser agrupados botões de *zoom* ou *pan*, entre outras funções que se ache útil para uma animação mais versátil. A sua inclusão numa barra de ferramentas desse género não foi possível dado o Matlab não permitir associar barras a elementos tipo *axis* mas sim a figuras como um todo.

5.3.3 Organização da aplicação

O código referente ao GUI está organizado segundo secções. Cada secção tem uma função de inicialização de variáveis e de objectos além de todas as funções de callback e funções auxiliares dos callbacks. As secções são por isso divididas em subsecções e estas podem também ter funções de inicialização que são chamadas pela função de inicialização da secção correspondente. Pretende-se com isso criar um efeito em árvore ramificada unidireccional quando se inicia a aplicação, tal como representado no seguinte organograma.

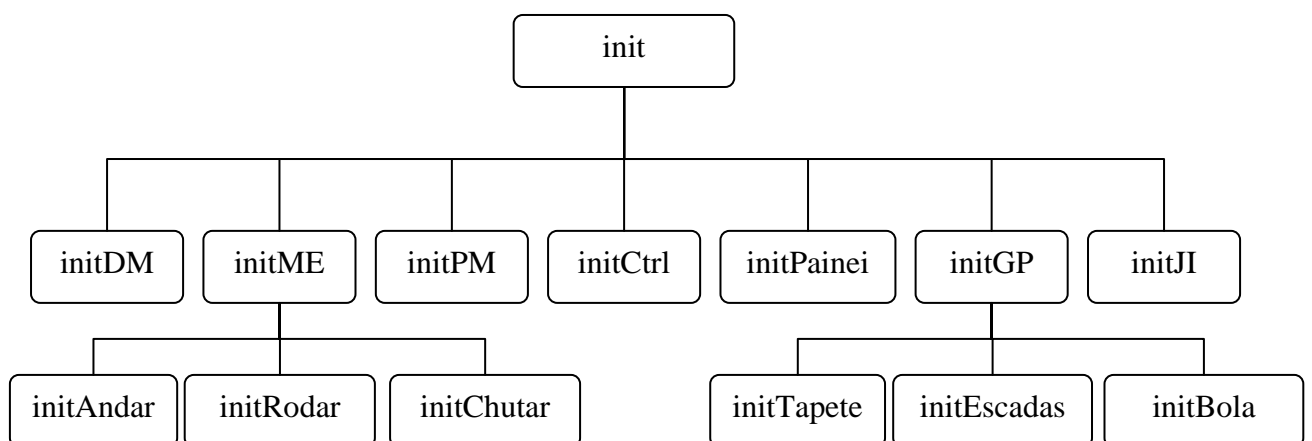


Figura 5-14 - Inicialização do GUI

A divisão do m-file relativo ao GUI está por isso decomposta nas seguintes secções e subsecções:

✚ Início

✚ Janela Inicial

- Inicialização
- Comunicações

✚ Painéis

- Inicialização
- Funções

✚ Definição de Movimento

- Inicialização
- Menus de contexto
- Espaço das juntas
- Espaço cartesiano
- Controlo de fase

✚ Movimentos Especiais

- Inicialização
- Outros
- Chutar
- Rodar
- Andar

✚ Controlo

- Inicialização

✚ Plots do Movimento

- Inicialização
- Funções

✚ Gestão do Plot

- Inicialização
- Plot
- Tapete
- Escadas
- Bola
- Barra de ferramentas do Plot

- Menus de contexto
- ✚ Outros
 - Debug
 - Gestor de Movimentos

5.3.4 Ficheiros envolvidos

Um dos objectivos para o desenvolvimento desta aplicação era a pretensão de agrupar todo um conjunto de pequenas ferramentas que já tinham sido desenvolvidas. Dessa forma, juntamente com o *script* principal do GUI tem-se também um conjunto de *scripts* que executam tarefas independentes, tais como, cálculo da cinemática directa ou inversa. A descrição de cada um deles é feita com mais detalhe abaixo, para uma análise mais superficial está elaborada a **Tabela 5-6** para consulta rápida.

5.3.4.1 CinDir20dof.m

Este ficheiro define a função:

```
A = CinDir20dof( DM )
```

Esta função recebe como entrada uma estrutura do tipo “Definição de Movimento” e devolve para a saída um array de matrizes de transformação que se aplicam a cada um dos 20 graus de liberdade do robô humanóide.

5.3.4.2 CoordJuntas

Este *script* alberga a função:

```
handles = CoordJuntas( Ai,DM,handles )
```

Esta função efectua o cálculo da posição e orientação de cada um dos objectos que compõe a estrutura virtual do robô humanóide. Como parâmetros de entrada é dado o array de matrizes de transformação calculado pela função *CinDir20dof*, como segundo

parâmetro é fornecida a estrutura do tipo “Definição de Movimentos” e o terceiro parâmetro é uma estrutura do tipo “Definição de Objectos”, esta é também a estrutura de saída.

5.3.4.3 CinInv2R

Este *script* contém a função:

```
[ang1,ang2] = CinInv2R( Pf,L,Signum )
```

Esta função faz o cálculo da cinemática inversa para 2 graus de liberdade. Tem-se então como parâmetros de entrada o *Pf*, que é um vector com a posição cartesiana do ponto que se pretende atingir, o *L* é um array com os comprimentos dos elos e o *Signum* resolve a redundância característica da cinemática inversa, ou seja, este valor pode ser 1 ou -1 e define a orientação do “cotovelo”.

5.3.4.4 data_struct

A função definida por este ficheiro é:

```
robo = data_struct()
```

Esta função devolve uma estrutura com todos os parâmetros do robô humanóide. Esta função está dividida em sub-estruturas em que além das dimensões de alguns dos componentes do robô também existe um array de 8 estruturas que alberga as definições características de cada *slave* e de cada servo. A estrutura de saída está ilustrada na **Figura 5-15**.

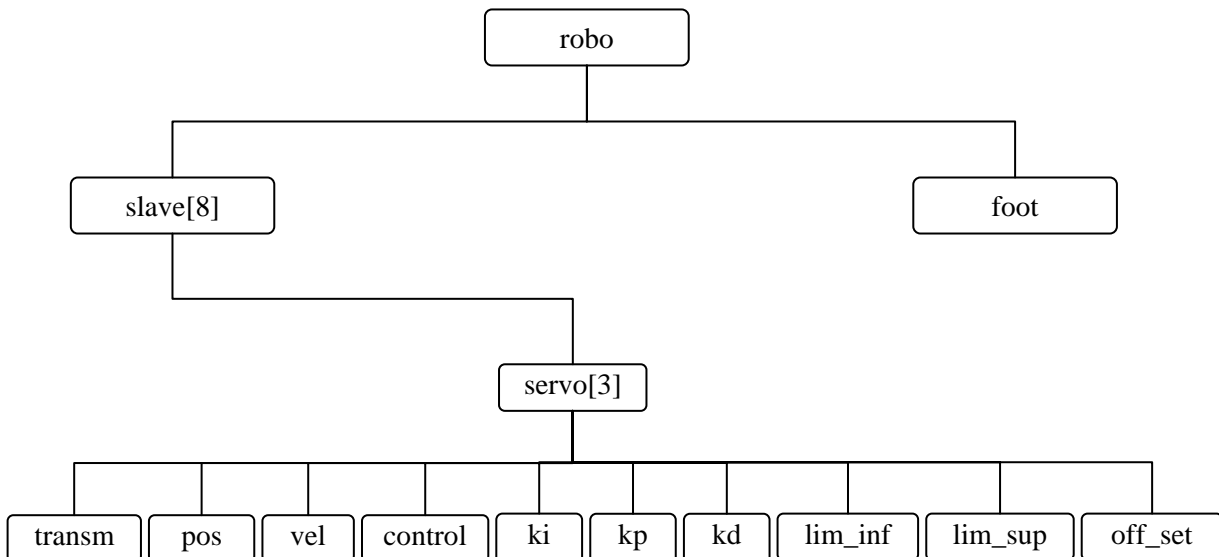


Figura 5-15 - Organograma ilustrativo da estrutura robo

Dentro da estrutura “foot” estão algumas definições sobre as dimensões e características deste componente. Há 8 estruturas do tipo “slave”, cada uma alberga até 3 estruturas do tipo “servo” que contêm algumas das definições associadas a cada um dos servos constituintes do robô humanóide. Algumas das definições não são perceptíveis à primeira vista, por isso a seguir é dada uma breve descrição de cada uma delas:

- ✚ transm – relação de transmissão do servo;
- ✚ pos – valor de posição actual do servo;
- ✚ vel – valor do tempo de execução de um movimento;
- ✚ control – tipo de controlo actualmente em execução no servo;
- ✚ ki, kp, kd – parâmetros do controlador PID quando activo;
- ✚ lim_inf – limitação inferior do servo, contando também com a limitação que a própria estrutura humanóide impõe ao servo;
- ✚ lim_sup – igual ao lim_inf mas para limitação superior;
- ✚ off_set – o off_set de correcção (em relação à posição vertical do robô).

Esta estrutura que a função *data_struct* devolve ainda não está a ser totalmente aplicada. Esta estrutura deverá ser a base de dados actualizada de tudo o que se passa com o robô humanóide real.

5.3.4.5 DefineRob

Este *script* define a função:


```
handles = DefineRob()
```

Esta função todas as dimensões dos elos e componentes do robô humanóide. São definidos por esta função os comprimentos e massas dos elos, bem como as distâncias e dimensões de cada uma das chapas que constituem a estrutura. Todos estes dados são usados para o cálculo do CoG e para o *plot* do robô virtual.

5.3.4.6 DesenharRoboPZ

A função associada a este *script* é:

```
handles = DesenharRoboPZ( GP, axis_h )
```

O objectivo desta função é criar o primeiro *plot* do robô humanóide, para isso é-lhe fornecido como parâmetros de entrada uma estrutura do tipo “Gestão do Plot”, estrutura essa que alberga uma sub-estrutura denominada *def* e que é do tipo “Definição de Objectos”. Esta sub-estrutura é a que a função *CoordJuntas* devolve e onde estão definidos todos os objectos correctamente orientados e que compõe o robô humanóide. Outro dos parâmetros que é fornecido a esta função é o *axis_h*, este parâmetro contém o valor do *handler* corresponde ao *axis* onde o *plot* será efectuado.

Na saída desta função está um array estruturado com a etiqueta de cada um dos objectos desenhados. Este array é de extrema importância, porque garante que qualquer alteração que tenha de ser feita a qualquer um dos objectos não implica desenhá-lo de novo, mas simplesmente alterar os valores que o definem, para isso servirá a próxima função a ser descrita (*ActualizaRobo*).

5.3.4.7 ActualizaRobo.m

Este *script* é responsável pela função:

```
ActualizaRobo( GP )
```

Esta função tem simplesmente como parâmetro de entrada uma estrutura do tipo “Gestão do Plot”. Esta estrutura contém uma sub-estrutura com os valores actualizados das posições e orientações de cada um dos componentes. Além disso, contém também a sub-estrutura que foi devolvida pela função *DesenharRoboPZ* e que indica a etiqueta referente a cada um dos objectos do *plot*. O que é então executado nesta função é um

ciclo de actualização de cada um dos valores dos objectos existentes no *plot*, já que para isso só precisamos dos valores actualizados e das etiquetas de cada objecto que se pretende actualizar.

5.3.4.8 PlotJuntas.m

A função descrita por este ficheiro é:

```
PlotJuntas( DM, PM, axes_PM )
```

Esta função desenha a trajectória de quatro juntas. A trajectória é de 5ª ordem e é a mesma calculada pelas *slaves*. Como parâmetros de entrada têm-se uma estrutura do tipo “Definição do Movimento” e que contém toda a informação sobre todas as fases e todos os movimentos de todas as juntas, têm-se também uma estrutura do tipo “Plot do Movimento” onde estão incluídas o intervalo de fases a representar e as 4 juntas que devem ser apresentadas. O último parâmetro de entrada é o *handler* para o *axis* onde vai ser efectuado o *plot*.

5.3.4.9 RobCOG.m

Define a função:

```
def = RobCOG( A, DM, COG_0, def )
```

Define o centro de gravidade da estrutura em determinada fase do movimento. Para isso como parâmetros de entrada são passados a matriz de transformação calculada pela função de cinemática directa, a estrutura “Definição do Movimento”, o centro de gravidade inicial (com o robô humanóide na vertical) e uma estrutura do tipo “definições”. Esta última estrutura também é o parâmetro de saída e a razão para ela ser um parâmetro de entrada deve-se unicamente à necessidade de ter nesta estrutura valores devolvidos por diferentes funções e a ideia subjacente é que cada função só altere os campos que lhe compete e deixe tudo o resto incólume.

5.3.4.10 Sim_Walking.m

No *script* “Sim_Walking” está a função de locomoção implementada:

```
DM = Sim_Walking(DM, walk)
```

Os parâmetros que definem a locomoção são fornecidos através da estrutura *walk* e a estrutura *DM* contém além, da posição actual do humanóide, as dimensões que alimentam as cinemáticas para o cálculo do movimento. Como saída esta função devolve uma estrutura do tipo *DM* com todo o movimento descrito.

5.3.4.11 Sim_Rotate.m

Este *script* define o movimento de rotação através da função:

```
DM = Sim_Rotate(DM, rotate)
```

À semelhança do que acontece com a função *Sim_Walking*, para esta função o parâmetro de entrada *DM* contém as dimensões do humanóide para efectuar os cálculos do movimento. A estrutura *rotate* fornece as definições específicas deste movimento, sendo essas definições as especificadas no painel referente à rotação. Como saída é devolvida uma estrutura do tipo *DM* com a descrição do movimento.

5.3.4.12 Sim_Kick.m

O *script* “*Sim_Kick*” contém a função para a criação do movimento do pontapé:

```
DM = Sim_Kick(DM, kick)
```

E, mais uma vez, à semelhança das funções anteriores, os parâmetros de entrada são a estrutura *DM* com as dimensões do humanóide e uma estrutura *kick* com a definição dos parâmetros deste movimento. Como saída têm-se a estrutura do tipo *DM* com a definição do movimento.

5.3.4.13 simulate.m

O *script* “*simulate*” permite visualizar todas as fases de movimento desenvolvidas com as trajectórias calculadas, mostrando como será o movimento real do robô humanóide. A função é:

```
simulate(DM, GP)
```

Não há parâmetros de saída. Os parâmetros de entrada são a estrutura *DM* com os dados de cada uma das fases do movimento criadas e a estrutura *GP* com as referências dos objectos que estão representados no *axis*.

5.3.4.14 ZeroLocalCOG.m

Este *script* contém a função:

```
COG_XYZi = ZeroLocalCOG( DM )
```

Esta função devolve a posição do CoG de cada um dos componentes do robô humanóide. Estes CoG podem depois ser usados pela função *RobCOG*, para o cálculo do CoG em cada instante do movimento.

5.3.4.15 adapt.m

Esta é uma função de grande utilidade quando se trata de aplicar movimentos simulados ao robô real ou transformar posições lidas do robô real em posições simuladas. O que é executado no interior desta função é uma adaptação de posições associadas à estrutura virtual em posições aplicáveis à estrutura real.

A função é:

```
pos_final=adapt( scuid, position, Nrel, tipo )
```

Ao fornecer a esta função o identificador da *slave* com a qual se pretende actuar, *scuid*, o vector com as posições simuladas para os 3 servos, *position*, o vector com as relações de transmissão dessas juntas, *Nrel*, e o tipo de operação que se pretende efectuar, *tipo* (1-posição a enviar, 2-posição lida). O valor devolvido é o vector de posição convertido no formato pretendido.

A **Tabela 5-5** - Parâmetros de entrada da função *adapt* contém a descrição dos parâmetros de entrada da função *adapt* e dos valores usados por omissão pela função.

Parâmetro	Descrição	Valor por defeito
Scuid	Identificador da <i>slave</i> onde se vai actuar	-
position	Posição a enviar/recebida	-
Nrel	Relação de transmissão das juntas	[1, 1, 1]
Tipo	1 – posição a enviar	1
	-1 – posição lida	

Tabela 5-5 - Parâmetros de entrada da função *adapt*

Esta função *adapt* usa uma matriz com os *offsets* físicos do humanóide e, esta matriz é auto calibravel, para isso basta invocar a função só com um parâmetro de entrada, correspondente ao *handler* da comunicação RS-232.

Esta matriz é guardada automaticamente no ficheiro “matriz_calib.mat” localizado numa pasta definida no interior da função.

5.3.4.16 Tabela descritiva

Ficheiro	Função	Descrição
ActualizaRobo.m	ActualizaRobo(GP)	Refaz o plot actual do robô
adapt.m	pos_final=adapt(scuid,position,Nrel,servo)	Converte posições simuladas em reais e vice-versa
BuildJointMotion.m		Constrói o movimento nas juntas para o algoritmo de locomoção
CinDir20dof.m	A = CinDir20dof(DM)	Calcula as matrizes de transformação da cinemática directa
CinInv2R.m	[ang1,ang2] = CinInv2R(Pf,L,Signum)	Calcula a cinemática inversa 2R
CinInvHip_Liv.m	Q = CinInvHip_Liv(P,L)	Calcula a cinemática inversa para o pé livre no algoritmo de locomoção
CinInvHip_Sup.m	Q = CinInvHip_Sup(P,L)	Calcula a cinemática inversa para o pé de suporte no algoritmo de locomoção
CoordJuntas	handles = CoordJuntas(Ai,DM,handles)	Retorna as posições cartesianas das juntas e restantes componentes do humanóide
data_struct.m	robo = data_struct()	Define uma estrutura com as variáveis do robô
DefineRob	handles = DefineRob()	Devolve os parâmetros estruturais do robô (comprimentos, massas)
DesenharRoboPZ.m	handles = DesenharRoboPZ(GP, axis_h)	Faz o plot inicial do robô humanóide
GeradorTraj.m	[pos,vel,ace] = GeradorTraj(t,pos,vel,ace)	Constrói uma trajectória de 5ª
MovsList.mat		Ficheiro com os movimentos guardados
PlaneamentoJuntas.m	[Q,dQ,ddQ] = PlaneamentoJuntas(t,qi,qf,VEL, ACE)	Faz o planeamento de uma trajectória nas juntas
PlotCCarts.m	PlotCCarts(t,P_x,P_y,P_z)	Faz o plot da variação das coordenadas cartesianas durante o movimento
PlotCOG.m	PlotCOG(t,COG)	Faz o plot da variação do CoG e CoP durante o movimento
PlotJuntas.m	PlotJuntas(DM, PM, axes_PM)	Faz o plot da variação da posição angular das juntas durante o movimento
Polyfit2.m	[COEF,dCOEF,ddCOEF] = Polyfit2(x,p,v,a)	Permite construir um polinómio definindo posição, velocidade e aceleração iniciais e finais
RobCOG.m	def = RobCOG(A,DM,COG_0, def)	Determina o CoG e CoP para uma dada posição do humanóide
Rot_XX.m	T = Rot_XX(q)	Matriz de transformação com rotação em torno do eixo xx
Rot_YY.m	T = Rot_YY(q)	Matriz de transformação com rotação em torno do eixo yy
Rot_ZZ.m	T = Rot_ZZ(q)	Matriz de transformação com

		rotação em torno do eixo zz
Sim_Kick.m	DM = Sim_Kick(DM, kick)	Devolve um movimento de um pontapé
Sim_Rotate.m	DM = Sim_Rotate(DM, rotate)	Devolve um movimento de rotação
Sim_Walking.m	DM = Sim_Walking(DM, walk)	Devolve um movimento de locomoção
Simulate.m	simulate(DM, GP)	Faz a simulação do movimento
Stairs.m	S = stairs(GP)	Devolve um objecto escadas
Tra_XX.m	T = Tra_XX(L)	Matriz de transformação com translação no eixo dos xx
Tra_YY.m	T = Tra_YY(L)	Matriz de transformação com translação no eixo dos yy
Tra_ZZ.m	T = Tra_ZZ(L)	Matriz de transformação com translação no eixo dos zz
ZeroLocalCOG.m	COG_XYZi = ZeroLocalCOG(DM)	Devolve a posição cartesiana do CoG de cada componente individualmente

Tabela 5-6 - Ficheiros do TwoLegs_22dof

5.4 GestMovs

O GUI GestMovs é o responsável por gerir todos os movimentos guardados. Esta janela bloqueante chamada a partir do botão GestMovs do TwoLegs_22dof permite guardar o movimento que está a ser criado ou abrir movimentos guardados previamente. Este GUI fornece além das possibilidades de abrir, guardar ou criar novo movimento, a possibilidade de pré-visualizar o movimento seleccionado.

O ficheiro MovsList.mat, armazena todos os movimentos guardados.

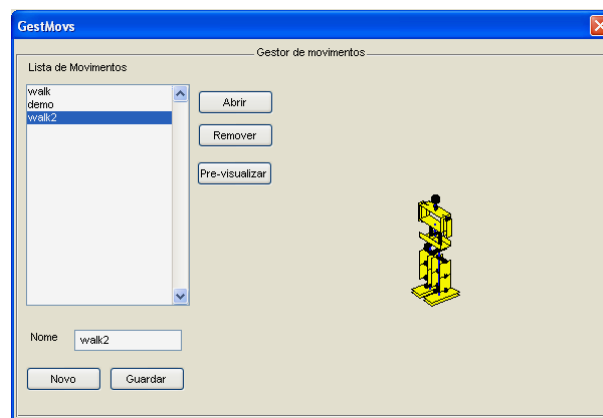


Figura 5-16 - Gestor de Movimentos

5.5 Bugs detectados

Um dos grandes problemas do TwoLegs_22dof deve-se ao facto das funções de *callback* não serem bloqueantes, isto é, pode haver várias funções a ser executadas ao mesmo tempo e, como já tinha sido falado, só a última a guardar a estrutura *handles* é que vai ser bem sucedida, todas as outras vão ter o seu trabalho perdido. Isto é motivo para muitas surpresas quando se está a trabalhar com o GUI, por exemplo se se alterar o valor de um *slide* das juntas e logo de seguida mover outro *slide*, o primeiro, vai voltar à posição que tinha antes de ser alterado. A solução para estes problemas passa por garantir que enquanto uma função está a ser processada toda a actividade visual bloqueia, para não haver hipótese de entrar em competição outra função.

Um dos bugs incompreensível encontra-se na activação dos menus de contexto, assim, o menu de contexto que existe associado a cada painel nem sempre aparece. E isto, é um problema persistente durante a execução do GUI, nem com a reinicialização da aplicação este problema fica resolvido. Isto acontece principalmente com os painéis dos pés. Não há qualquer tipo de explicação para este fenómeno.

No mesmo caminho dos bugs incompreensíveis encontra-se a activação das ligações RS-232, estas ligações são efectuadas por um *callback* associado à *textBox Ligar*, mas nem sempre esse *callback* é chamado com o click do rato. Este problema costuma ficar resolvido com a introdução no início da função de *callback* em questão do comando “*keyboard*” e, com a reinicialização do GUI. Depois de se conseguir ligar a primeira vez com sucesso, este bug não costuma ocorrer mais, durante a mesma sessão.

Um problema que ocorre preferencialmente quando se usa o GUI é a falha nas comunicações já depois de estarem iniciadas. Este problema deve estar associado ao uso de um conversor RS-232/USB, pelo menos, esta é a única explicação plausível. Para a correcção deste problema aconselha-se desligar todas as comunicações fisicamente e voltar a tentar.

Estão assim descritos os bugs detectados, pensa-se que os mais incompreensíveis se devam ao próprio Matlab usado e espera-se que não existam muitos mais problemas.

6 Conclusão

A continuação do estudo do controlador PID serviu para inferir sobre alguns pormenores relacionados com a sua influência no comportamento global da estrutura. Para o estudo deste controlador ficou criada uma interface gráfica de ajuda no ajuste dos parâmetros PID para um servo. Esta interface poderá ser facilmente adaptada a vários servos e, se possível, incluída no simulador TwoLegs_22dof para uma adaptação dinâmica dos parâmetros do controlador local.

O controlador baseado nos sensores de força passou a incluir a capacidade de controlo da altura da anca. Com esta nova característica foi dado um novo passo no sentido de criar movimentos gerados apenas por estímulos sensoriais.

Foi implementado na anca um controlador, baseado num inclinómetro, que possibilita manter a sua postura estabilizada. Este controlador apenas foi implementado para compensar o *pitch*, revelando para esse caso uma resposta satisfatória na estabilidade da postura da anca, segundo essa direcção.

Os controladores sensoriais são ferramentas valiosas para se avançar com movimentos que se adaptem às condições envolventes.

Os algoritmos de padrões de locomoção alcançaram este ano um estado de desenvolvimento passível de ser directamente aplicado ao robô humanóide. Introduziu-se na lista de padrões de locomoção o movimento de rotação sobre si próprio, ultrapassando assim as dificuldades que o robô humanóide cria à geração deste movimento.

A aplicação TwoLegs_22dof pode ser só o início de uma ferramenta capaz de operar de forma eficiente o humanóide. O seu uso permite um estudo mais aprofundado dos padrões de locomoção, criando condições para adaptar os movimentos ao humanóide em *real-time*. Esta aplicação apresenta problemas de desempenho inerentes à plataforma em que foi criada, é talvez de pensar num futuro migrar esta aplicação para um ambiente mais robusto e que permita integrar noções de dinâmica, para uma análise mais rigorosa do comportamento simulado.

7 Bibliografia

- [1] RUAS, Milton; *Desenvolvimento de Algoritmos de Controlo para Locomoção de um Robot Humanóide – Relatório Final de Projecto*; Julho de 2006.

- [2] SILVA, Filipe; *Sistema de Manipulação e Locomoção – Mestrado em Engenharia Mecânica*; 2002-2003.

- [3] GOMES, Luís; SILVA, Mauro; *Percepção e Desenvolvimento de Unidades de Percepção e Controlo para um Robot Humanóide – Relatório Final de Projecto*; 2004/05.

- [4] BEÇA, Nuno; CARDOSO, Ângelo; *Desenvolvimento e Integração das Sub-estruturas Inferior e Superior para a Locomoção de uma Plataforma Humanóide – Relatório Final de Projecto*; 2004/05.

- [5] SCIAVICCO, Lorenzo; SICILIANO, Bruno; *Modeling and Control of Robot Manipulators*; MacGraw-Hill; New York, 1996.

8 Índice de Imagens

Figura 1-1 – Robô Humanóide da Universidade de Aveiro	6
Figura 2-1 - Servomotor HITEC HS-805BB -	19
Figura 2-2 - Polias de transmissão existentes ao longo da estrutura.....	20
Figura 2-3 - GUI para teste do controlador PID	21
Figura 2-4 - Movimento de flexão de uma perna	22
Figura 2-5 – Junta do tornozelo com $k_i=20$ $k_p=20$ $k_d=5$	23
Figura 2-6 Junta do joelho com $k_i=20$ $k_p=20$ $k_d=0$	23
Figura 2-7 – Junta da anca em malha aberta	24
Figura 2-8 – Junta do tornozelo com $k_i=20$ $k_p=20$ $k_d=5$	25
Figura 2-9 – Junta do joelho com $k_i=20$ $k_p=20$ $k_d=0$	25
Figura 2-10 – Junta da anca com $k_i=30$ $k_p=15$ $k_d=0$	26
Figura 3-1 – Placa de acrílico com um extensómetro colado	29
Figura 3-2 – Distribuição dos sensores de força pelo pé e o referencial usado	30
Figura 3-3 – Diagrama representativo de uma perna sob a vista lateral	32
Figura 3-4 – Diagrama representativo de uma perna sob a vista frontal	32
Figura 3-5 - Trajectória do CoP.....	34
Figura 3-6 - Eixo dos xx.....	34
Figura 3-7 - Eixo dos yy.....	34
Figura 3-8 - Eixo dos zz	34
Figura 3-9 - Trajectória do CoP.....	35
Figura 3-10 - Eixo dos xx.....	35
Figura 3-11 - Eixo dos yy.....	35
Figura 3-12 - Eixo dos zz	35
Figura 3-13 - Trajectória do CoP.....	35
Figura 3-14 - Eixo dos xx.....	35
Figura 3-15 - Eixo dos yy.....	36
Figura 3-16 - Eixo dos zz	36
Figura 3-17 - Modo de funcionamento do acelerómetro	37
Figura 3-18 - Acelerómetro ADXL202E.....	37
Figura 3-19 - Eixos de inclinação.....	38
Figura 3-20 – Juntas que influenciam a inclinação da anca	39
Figura 3-21 – Curva de resposta do controlador segundo o <i>pitch</i>	40
Figura 3-22- Movimento efectuado no teste do controlador dos inclinómetros (vista de cima) ..	41
Figura 3-23 - Teste inclinómetros $t=2s$ $k=0.3$	42
Figura 3-24 - Teste inclinómetros $t=2s$ $k=0.4$	43
Figura 3-25 - Teste inclinómetros $t=2s$ $k=0.5$	43
Figura 3-26 - Teste inclinómetros $t=4s$ $k=0.1$	44

Figura 3-27 - Teste inclinómetros $t=4s$ $k=0.2$	44
Figura 3-28 - Teste inclinómetros $t=4s$ $k=0.3$	45
Figura 3-29 - Teste inclinómetros $t=4s$ $k=0.4$	45
Figura 3-30 - Teste inclinómetros $t=4s$ $k=0.5$	46
Figura 3-31 - Teste inclinómetros $t=5s$ $k=0.3$	46
Figura 3-32 - Teste inclinómetros $t=5s$ $k=0.5$	47
Figura 4-1 - Planos corporais e eixos de referência.....	50
Figura 4-2 - Centro de Gravidade (CoG).....	50
Figura 4-3 – Exemplo da redundância da cinemática inversa	52
Figura 4-4 - Sequência do movimento de marcha	55
Figura 4-5 - Algoritmo para a realização de vários passos.....	57
Figura 4-6 - Fases do movimento de rotação	58
Figura 4-7 – Fase 1	59
Figura 4-8 – Fase 2.....	59
Figura 4-9 – Fase 3.....	60
Figura 4-10 – Fase 5.....	60
Figura 4-11 – Problema da rotação	60
Figura 4-12 – Fase 6.....	60
Figura 4-13 - Desalinhamento das juntas que controlam o movimento lateral da anca	61
Figura 4-14 - Sequência do movimento Pontapé.....	62
Figura 4-15 – Fase 3.....	63
Figura 4-16 – Fase 4.....	63
Figura 5-1 - GUIDE	65
Figura 5-2 - Workspace GUIDE.....	65
Figura 5-3 - Criação de Menus.....	66
Figura 5-4 - Centros de Massa com o referencial utilizado.....	71
Figura 5-5 - Número de cada junta no simulador	72
Figura 5-6 - Divisão do GUI	73
Figura 5-7 - Aspecto visual do painel inicio.....	74
Figura 5-8 - Aspecto visual do painel Definição de Movimentos	75
Figura 5-9 - Menu de contexto para as juntas	76
Figura 5-10 - Aspecto visual do painel Plots do Movimentos.....	77
Figura 5-11 - Aspecto visual do painel Humanóide	77
Figura 5-12 – Conjunto de painéis de Movimentos Predefinidos:	78
Figura 5-13 - Gestão do Plot	79
Figura 5-14 - Inicialização do GUI	84
Figura 5-15 - Organograma ilustrativo da estrutura robo	88
Figura 5-16 - Gestor de Movimentos	96

9 Índice de Tabelas

Tabela 2-1 - Valores possíveis do parâmetro <i>param</i> da função <i>readjoint</i>	14
Tabela 2-2 - Valores presentes no vector status retornado pela função <i>readjoint</i>	14
Tabela 2-3 - Valores possíveis do parâmetro <i>param</i> na função <i>applyjoint</i>	15
Tabela 2-4 - Valores possíveis do parâmetro <i>param</i> na função <i>applycontrol</i>	16
Tabela 2-5 - Tipo de controladores de primeiro nível	16
Tabela 2-6 - Tipo de parâmetro para <i>aplicaConf</i>	18
Tabela 2-7 - Tipo de parâmetro a ler em <i>lerParam</i>	18
Tabela 3-1 - Expressões da matriz jacobiano	32
Tabela 5-1 - Dimensões dos Elos	69
Tabela 5-2 - Massa dos Componentes	69
Tabela 5-3 - Centros de Massa dos Componentes	70
Tabela 5-4 - Relação de transmissão das juntas	71
Tabela 5-5 - Parâmetros de entrada da função <i>adapt</i>	92
Tabela 5-6 - Ficheiros do <i>TwoLegs_22dof</i>	95
